

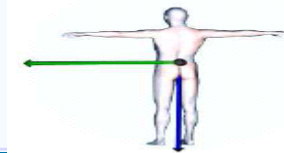
Aplikace umělé inteligence v medicíně

Daniel Novák

9.5.2012

KUI





OLDES

Older People's e-services at home

People:

Prof. Olga Stepankova, Daniel Novak, Petr Novak, Vratislav Fabian,
Karel Maly, Jan Hrdlicka, Martin Janouch, Lenka Novakova **III. Interni**

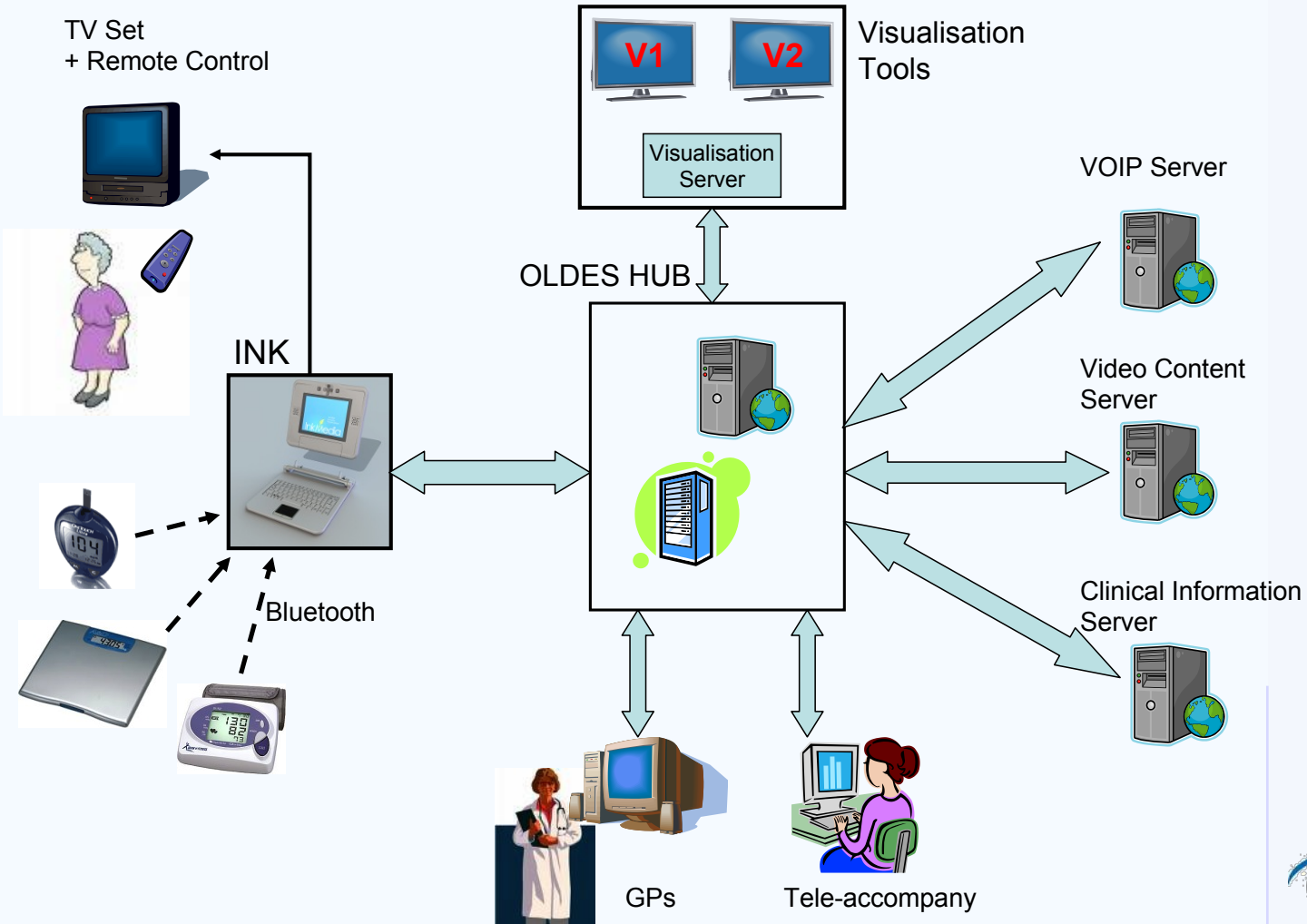
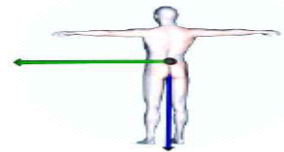
klinika, Vseobecna nemocnice: Doc. MUDr. Martin Haluzik,
MUDr. Milos Mraz, MUDr. Miroslav Kremen, MUDr. Tomas Roubicek,
Jan Padera (DP)



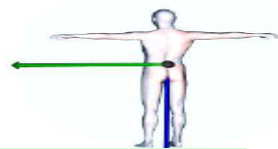
Area: Asistive Ambient Living, Applied Gerontology

**Goal: Diabete project: Glycemia prediction,
User Interface Development**

Demonstrator Architecture



Hardware Layer



Glucose monitoring



bodybugg™ armband features

Caloric Expenditure



Heart Rate



Blood Pressure



Food Scales

Personal Scales

Bluetooth
Zigbee
USB
Serial

Datalogger



Mobile solution
i) bluetooth
ii) GPRS module

Alarms

INK Local node



Central Node

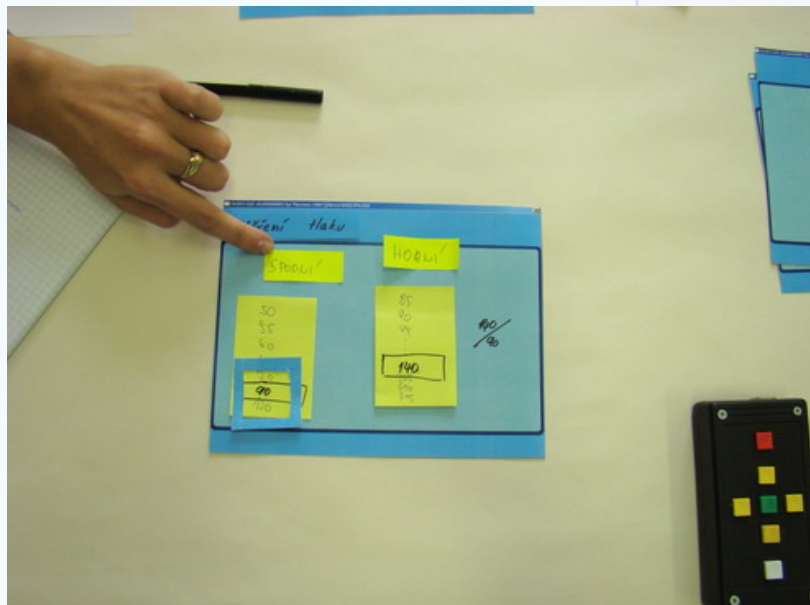
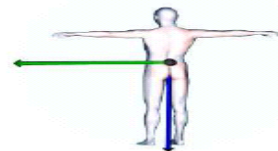
CN

laboratory
Gerstner

ink



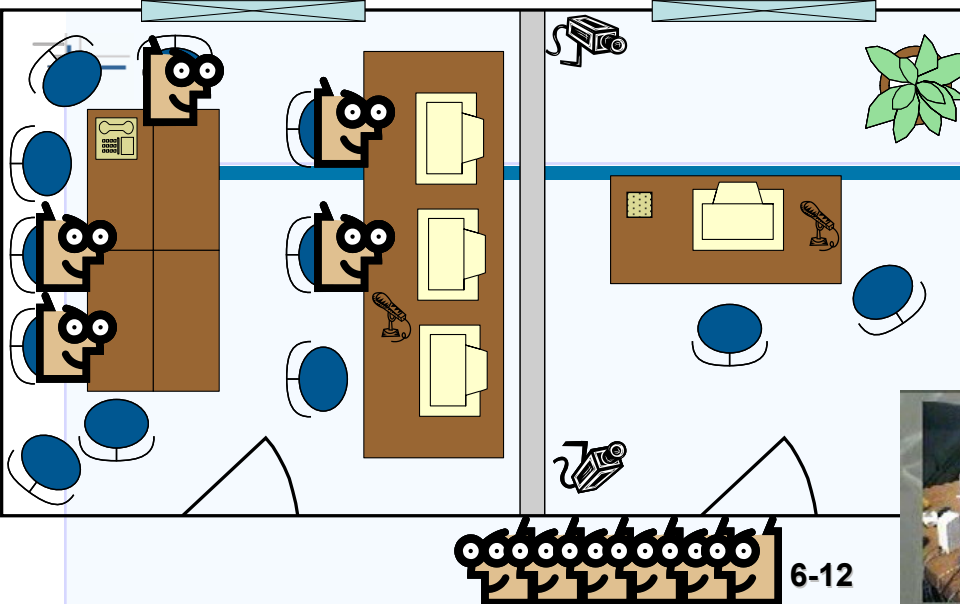
Paper prototyping



IST Programme



Software prototyping



OLDES GUI Prototype v0.1 CTU/UK 9.10.2007

Home

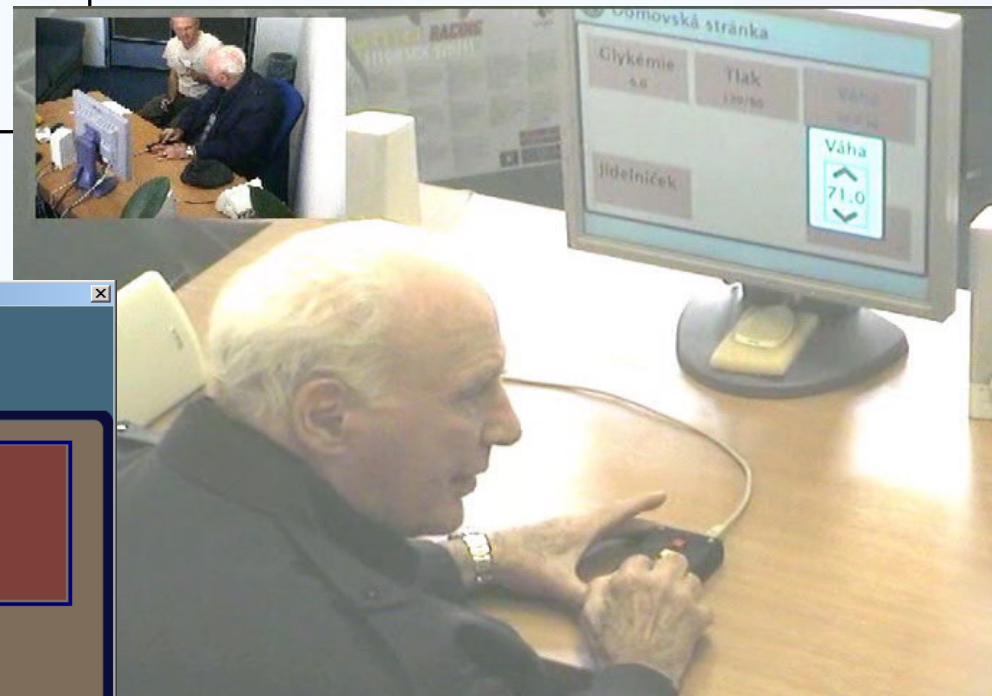
Glycemia ✓ 5.9

Pressure ✓ 133/77

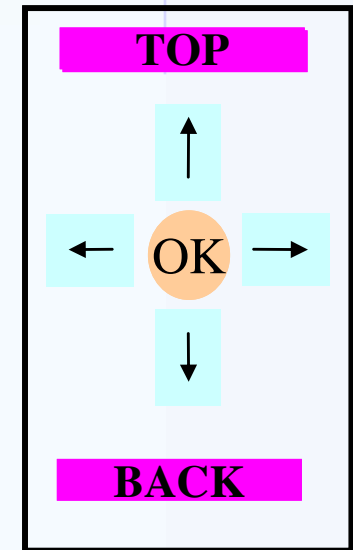
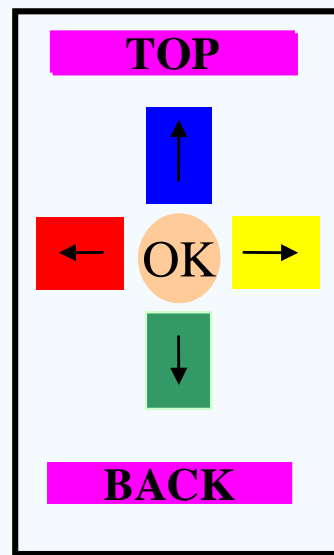
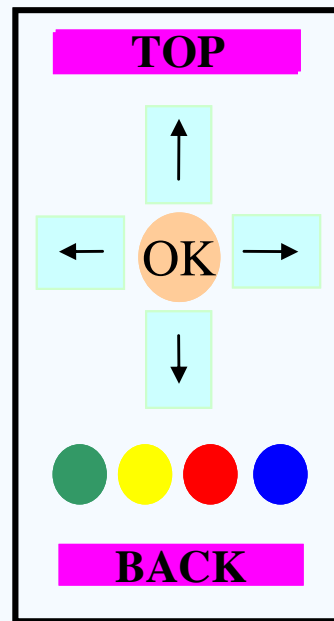
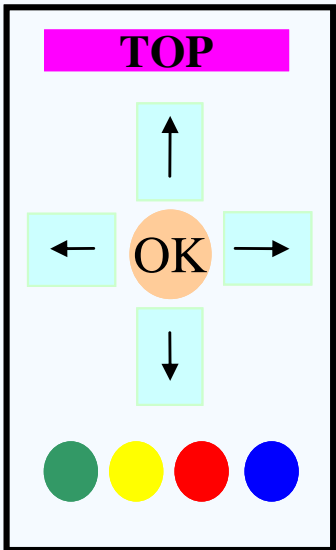
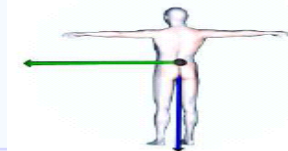
Weight 60 kg

Weight
57

Food menu



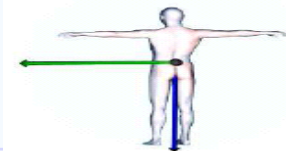
Tangible User Interface Design Evolution



factory
iner



GUI Example



((oldes)) OLDES Web GUI Prototype 0.1

Thu 19.6.2008

09:52:35

Home

Call

News and Info

My Diary

I'm interested in...

Let's talk about...

Food menu

Nejnavštěvovanější Jak začít Přehled zpráv

((oldes)) OLDES Web GUI Prototype 0.1

Thu 19.6.2008
09:54:47

Contact List

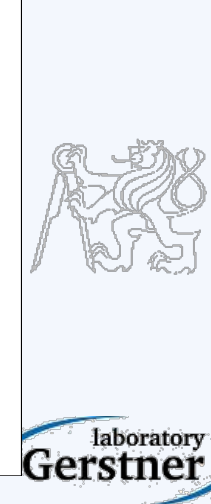
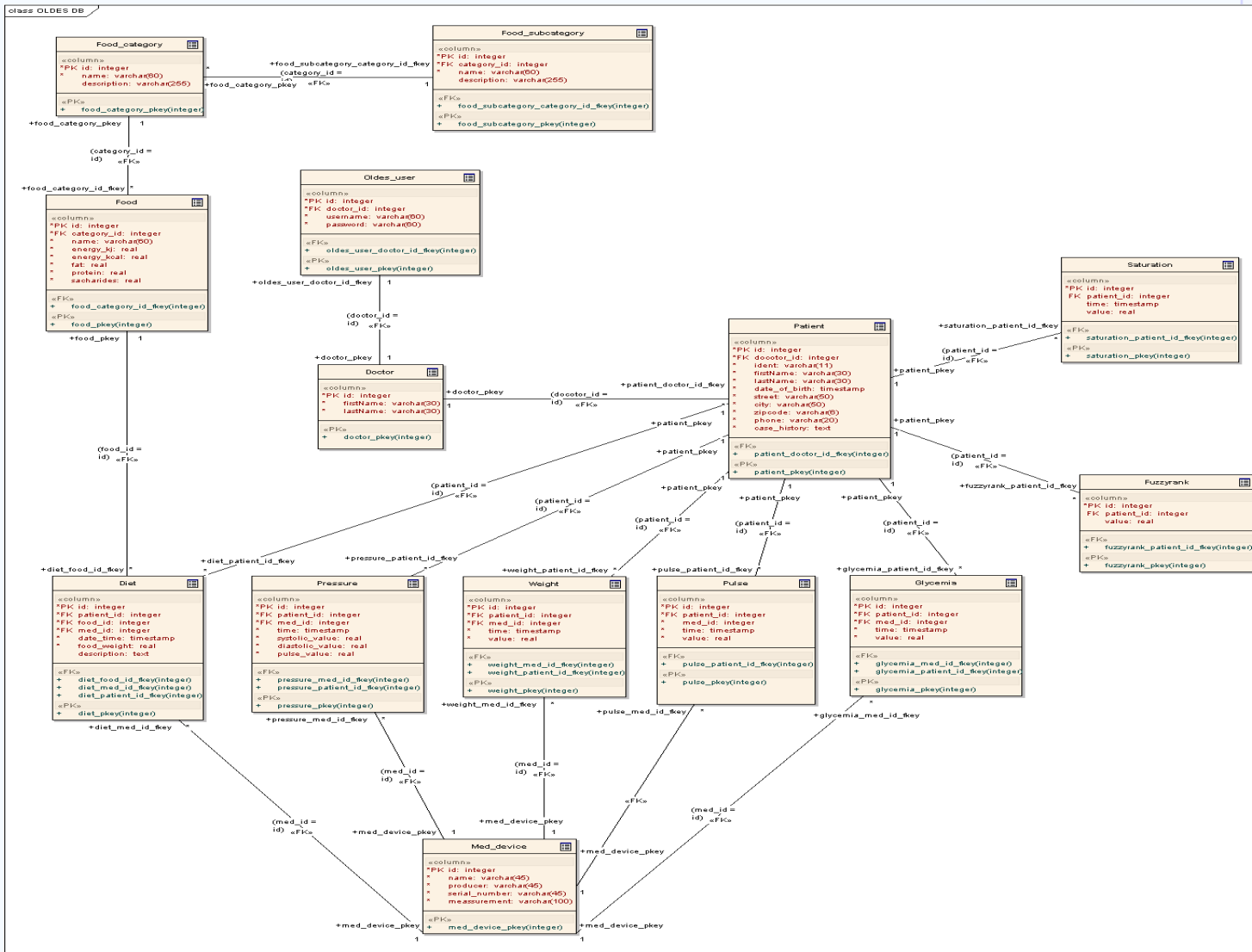
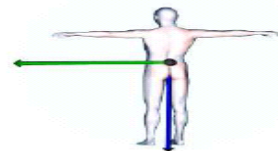
Adam
Petr
Maria

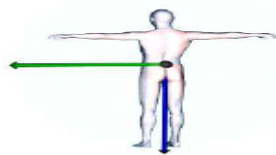
Calling..
Calling Petr

[Cancel](#)

[Back](#)

CI: OLDES DB

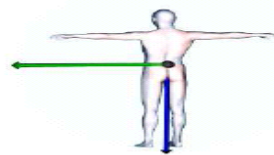




Giraffe project

- Giraffe project and then spin-off
- Simple assistive robot
- 7000 Euros
- Navigation using mouse and fisheye camera
- Old person sees your face projected via webcamera
- 500 Euros lease per month
- Nice video here:
 - <http://www.giraff.org/learnMore.html>



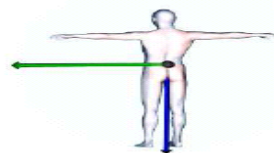


HeerMeFeelMe

- Finland example of NFC technology for pills reminding
- HMFM explores the possibilities for improving the quality of life by providing mobile service access for the visually impaired older adults using services related to (a) medication and medicine related information and services, and (b) health monitoring and diet information.
- Video: <http://www.youtube.com/watch?v=ZBTJPd2iKhM>
- **VERY INTERESTING PAGE:** <http://mocs.vtt.fi/>

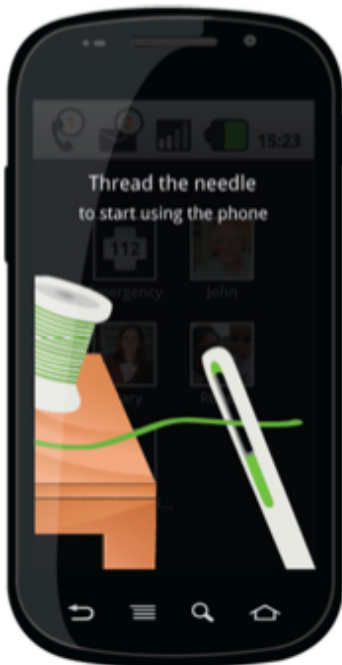


laboratory
Gerstner

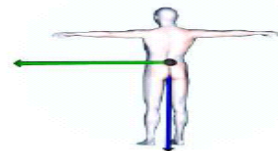


Fraunhofer Portugal

- Mobile applications
- http://www.fraunhofer.pt/en/fraunhofer_aicos/projects/internal_research.html
- Special user interface
- Navigation for dementia people
- Mover – Risk of Fall detection



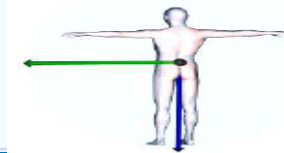
Bakalářské práce



- www.intem-app.com
- www.asleep-app.com

The collage includes the following elements:

- A smartphone screen showing a mood tracking app with a smiley face icon and the question "How are you today?"
- A smartphone screen showing a caloric intake app with a search bar and nutritional summary for the day.
- A smartphone screen showing an alarm clock interface with a digital clock at 19:58 and two scheduled alarms at 20:00 PM and 06:00 PM.
- A smartphone screen showing a navigation application with a map of an area, highlighting a location labeled "Moje pozice" with a blue circle.
- A desktop taskbar with multiple icons and the time 14:14.
- A window titled "MojePozice" showing a menu with options like "Hlavni menu", "Adresa a GPS souradnice", "Nastavení", and "Mapa".
- A window titled "Obecne" showing "Prava Přístupu" (Access Rights) with checkboxes for "Ales" (checked), "Doktor" (unchecked), and "Opatrovník 1" (checked).
- A window titled "Vytvoř nový" (Create new) showing a list of names with checkboxes and "Odstraň" (Delete) buttons.
- A window titled "Nastavení přístupových práv" (Set access rights) with fields for "Jméno" (Name) and "Telefonní číslo" (Phone number), and buttons for "Ulož" (Save) and "Zruš" (Cancel).



Single DBS Neuron Processing

People:

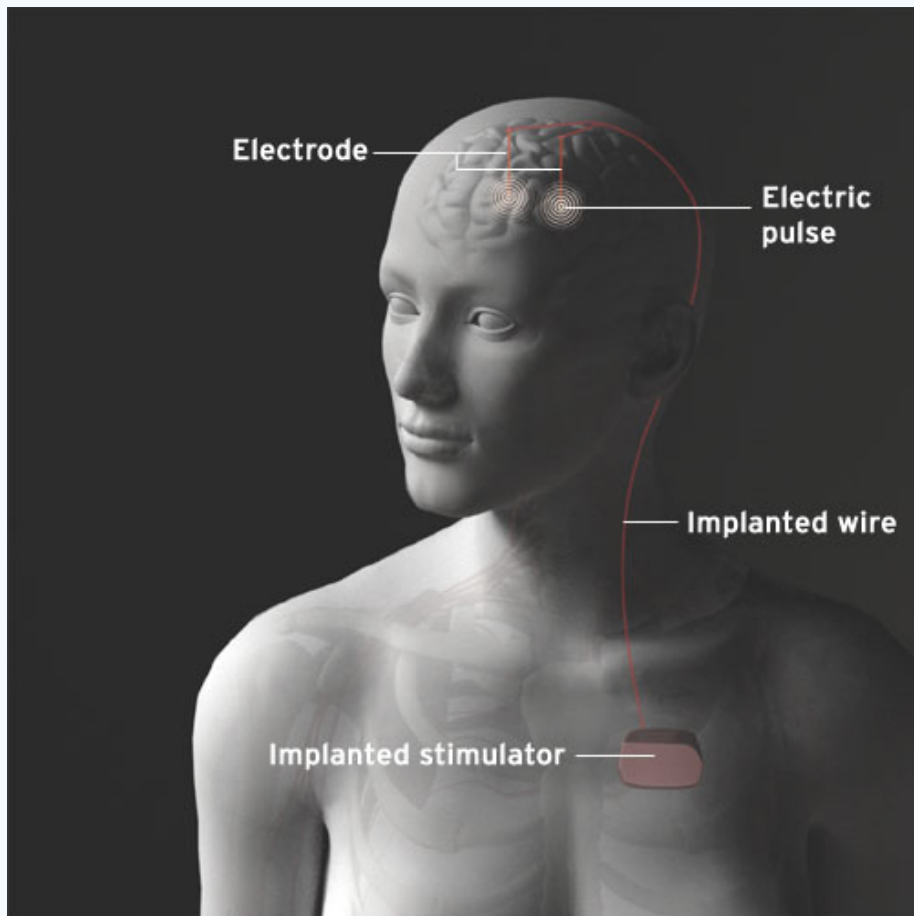
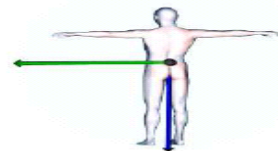
Daniel Novak, Prof. O.Stepankova, **1.UK, Nemocnice Homolka:**
MUDr. Robert Jech PhD, MUDr., Karel Schmidt (DP), Bc. Jiri Wild (DP),
Bc. Pavel Neuschl (DP)



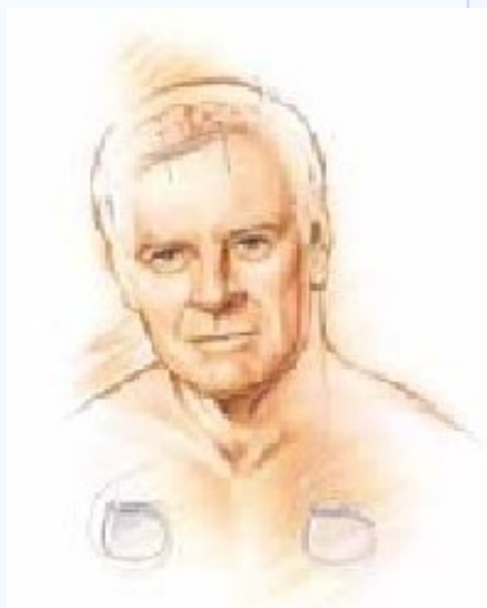
Area: Biological Signal Processing

Goal: Do Neurons in Basal Ganglia Respond to Emotional Content?

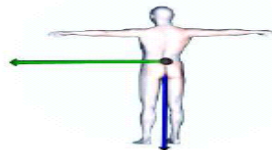
DBS



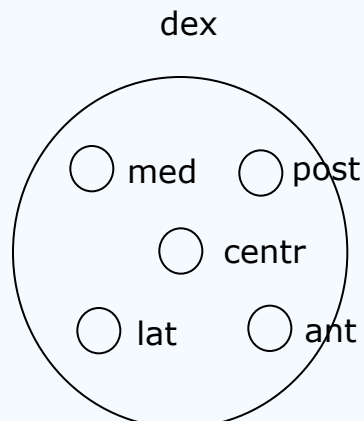
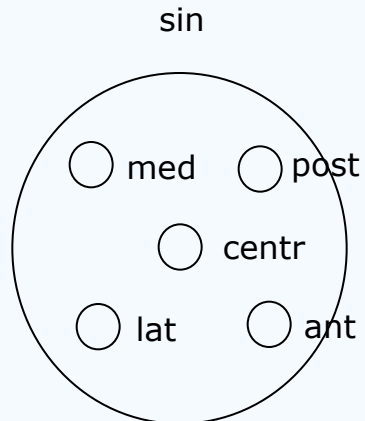
- + Some effects are almost immediate and seem to last. Allows doctors to target brain circuits with great accuracy.
- Requires brain surgery. Few patients have received implants; little is known about how well it works.



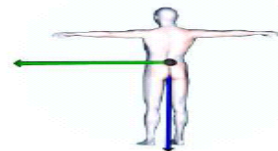
How: Functional stereotactic neurosurgery



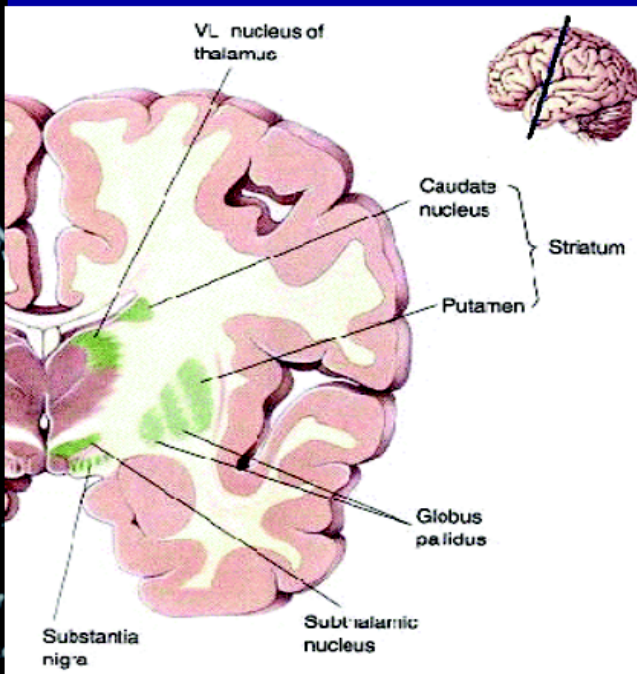
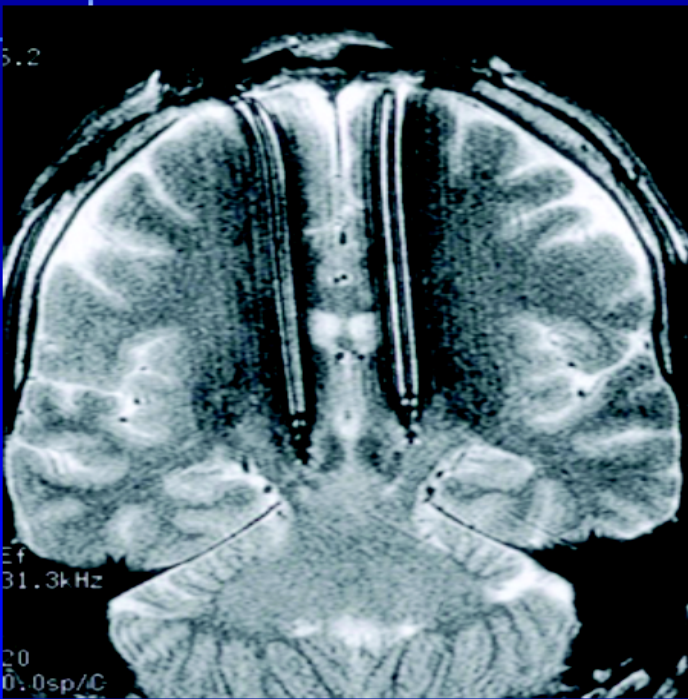
- Surgery at sites deep within the brain utilizing a stereotactic frame and stereotactic coordinates.
- Used for making a lesion or implanting a DBS electrode in thalamus or basal ganglia for treatment of movement disorders (PD, dystonia, ET), pain, etc.

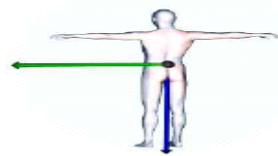


Geistlich

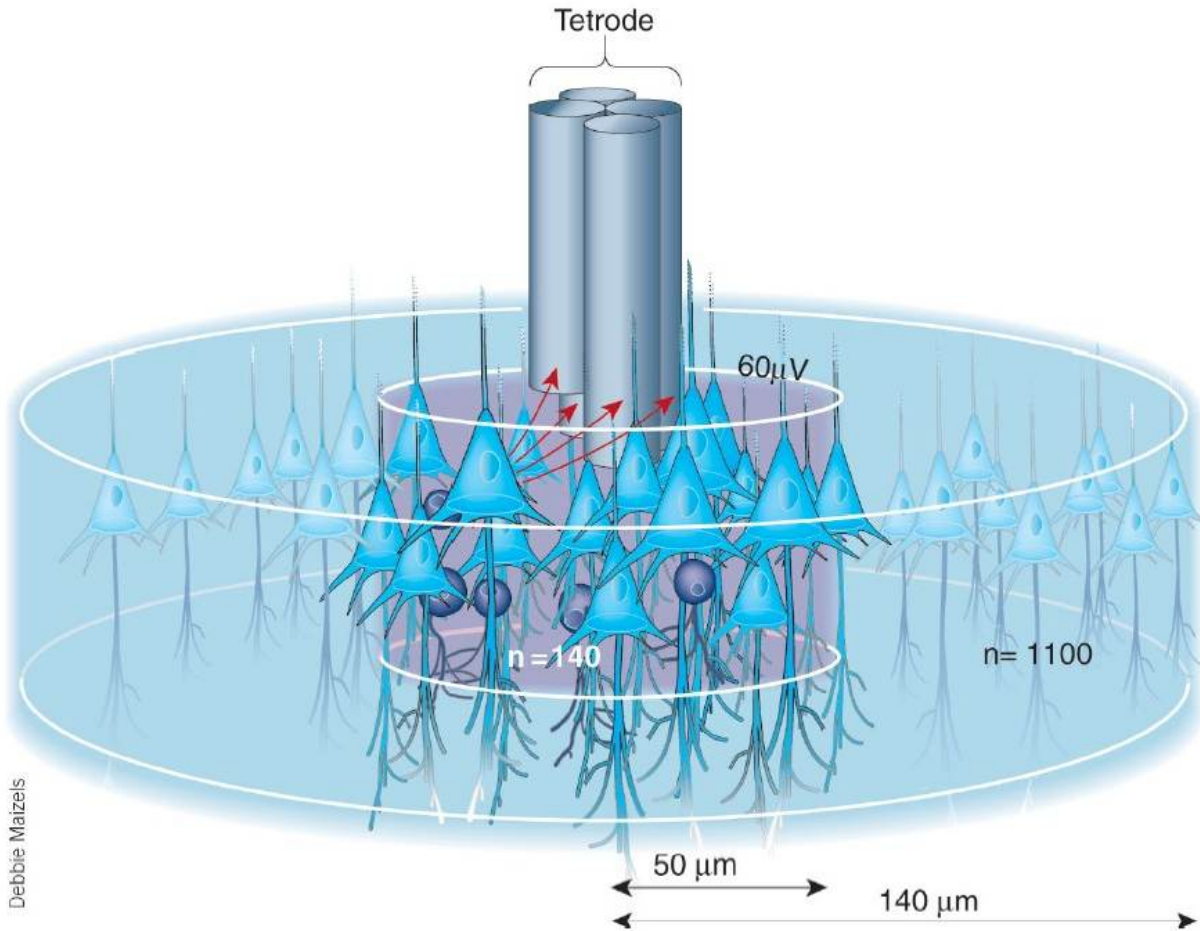


DBS: Topography

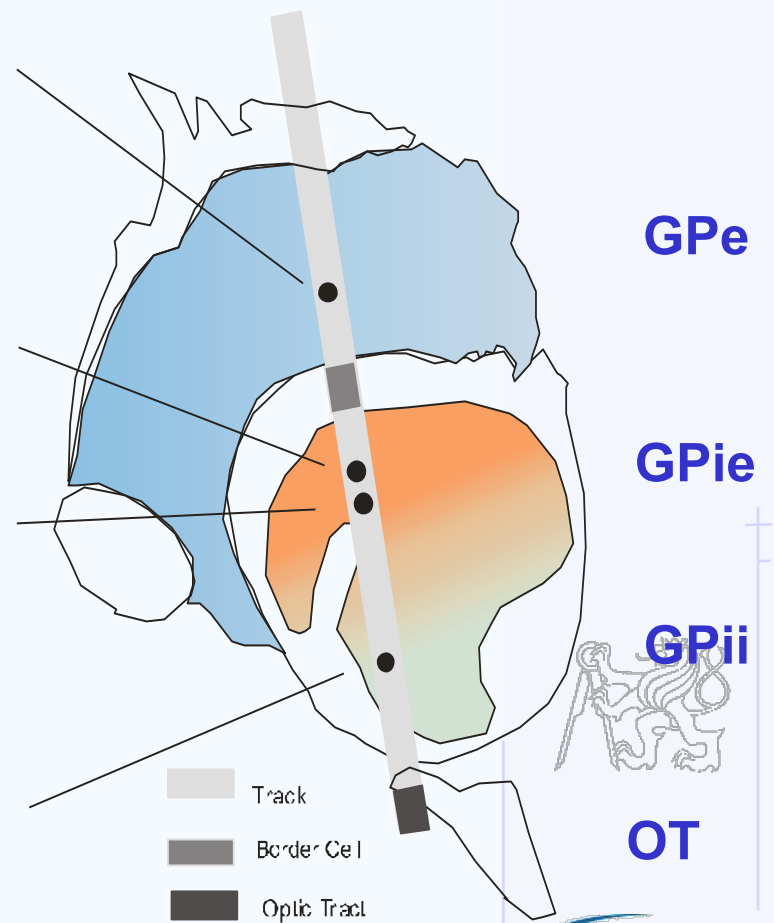
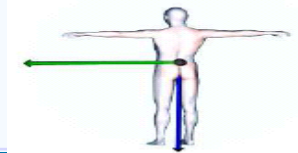




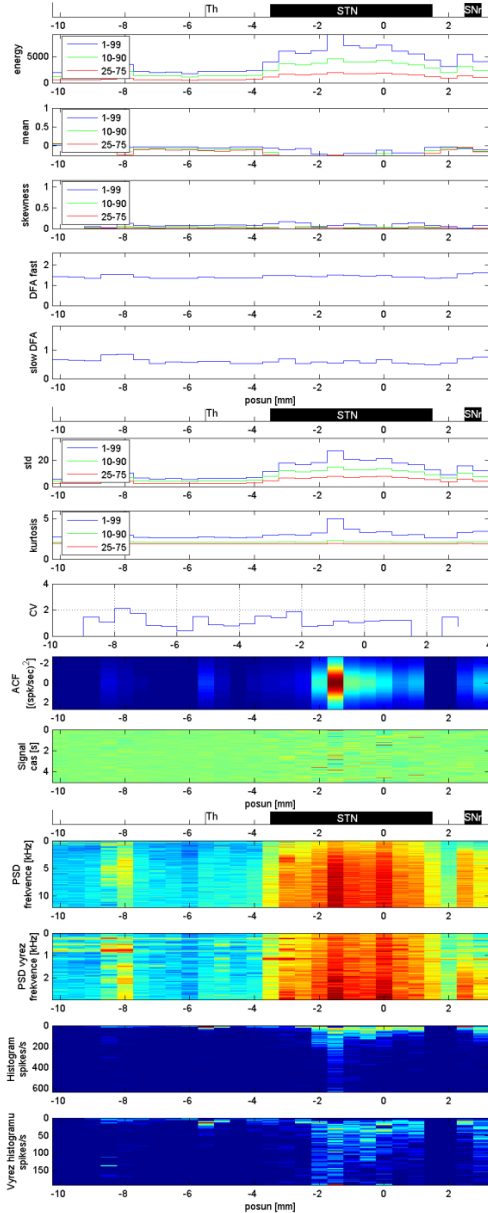
Neuron single action potential



laboratory
Gerstner



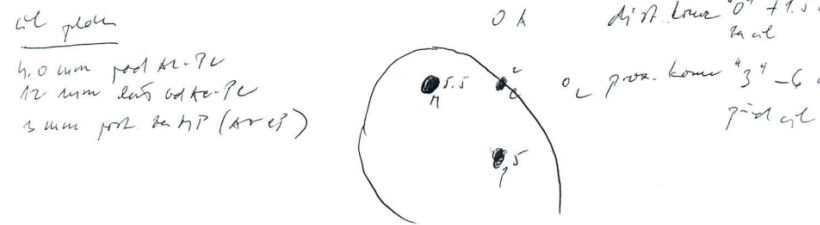
3) Visualization of navigation – raw parameters



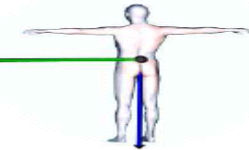
Micro electrode recording: DATE: 14/7/06
Kub_J_STNdex

Brain Target: STN dx

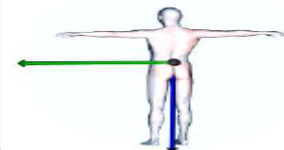
	Center EL	Anterior EL	Posterior EL	Medial EL	Lateral EL	DBS Lead Position
T-10	R				L	Medial
T-9				L		
T-8						
T-7					R	
T-6	R				R	
T-5	STN		R			3
T-4						
T-3	STN					2
T-2						
T-1			STN	STN		1
Target						0
T+1	STN					
T+2						
T+3		STN	STN			
T+4						
T+5						
T+6						
T+7						



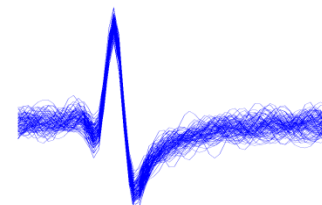
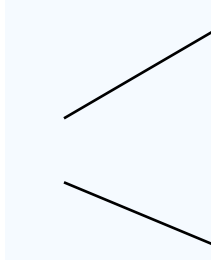
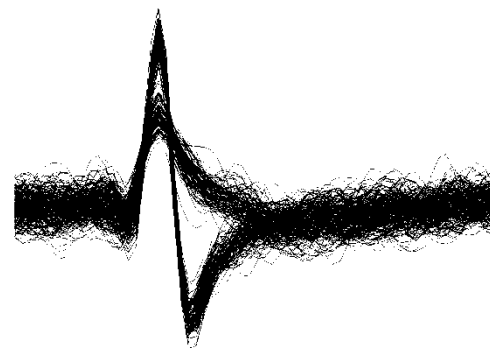
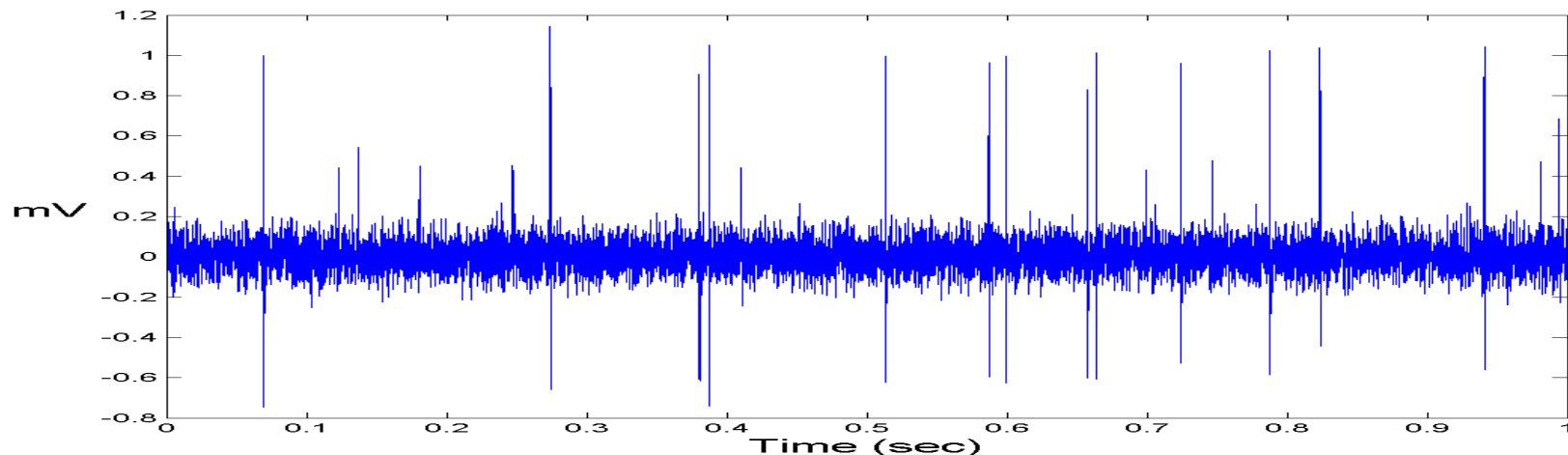
- Annotation
- Surgery protocol



Main Idea



- Motivation
 - Assign stimuli (picture, sound, movement) to different neurons !!!

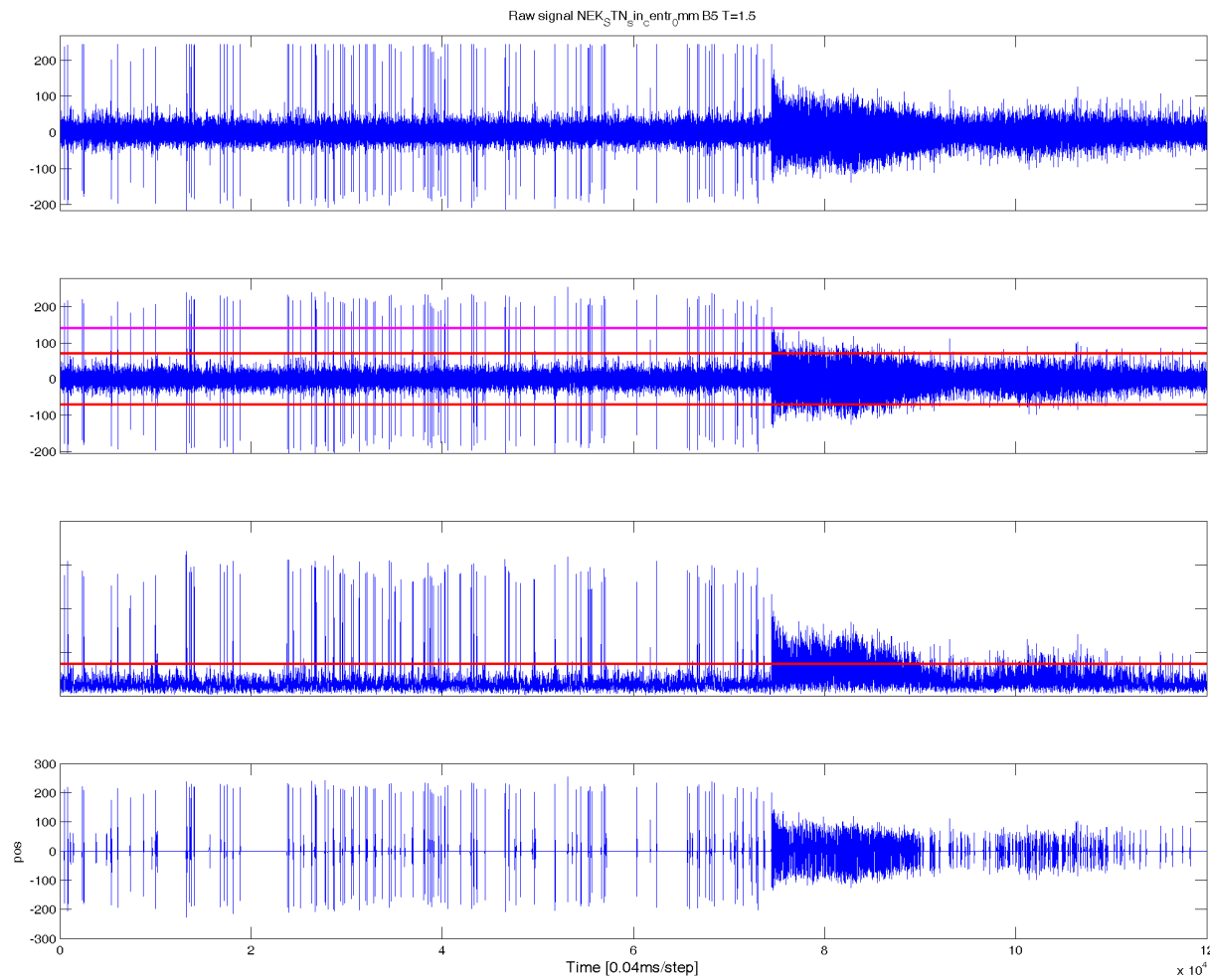
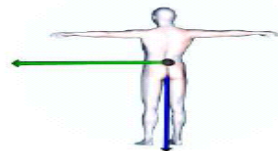


Department

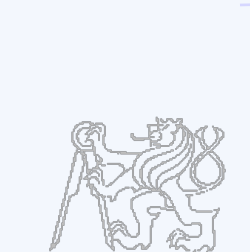
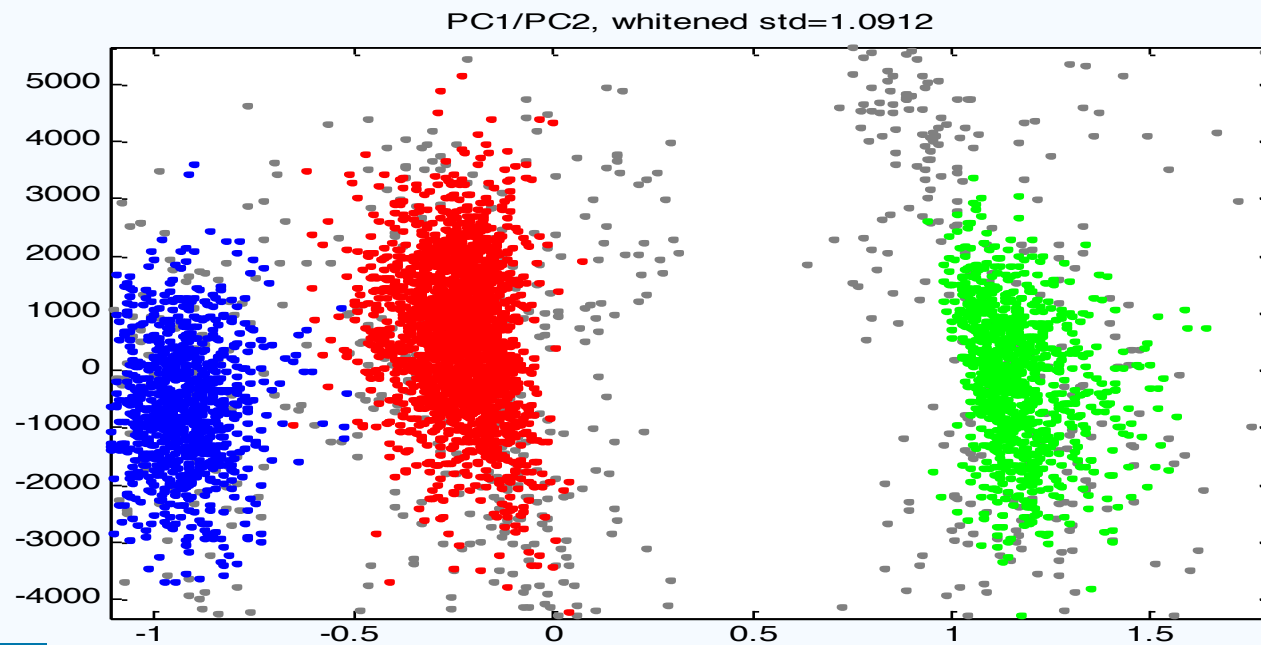
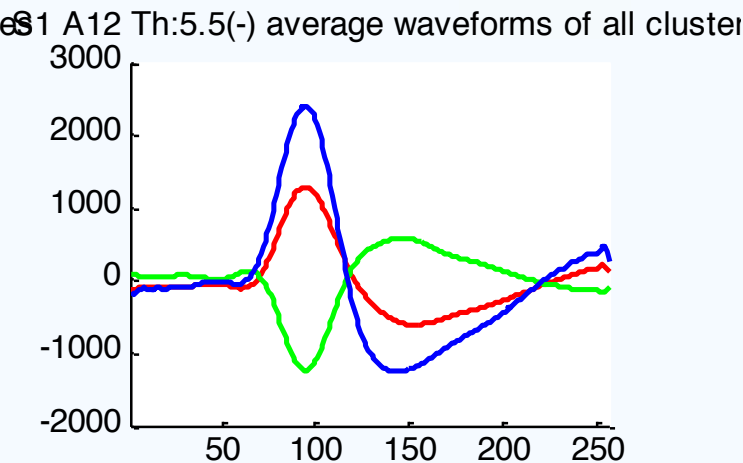
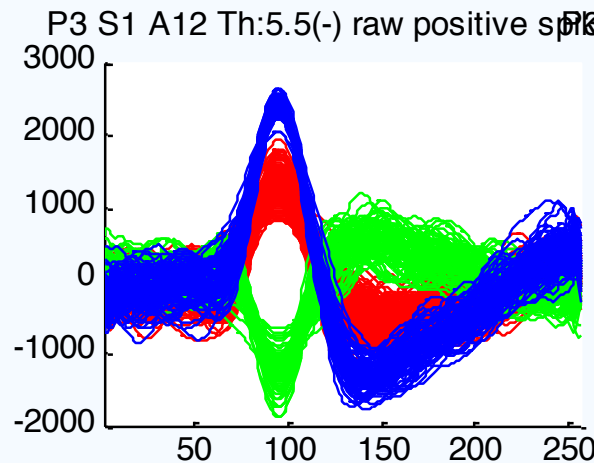
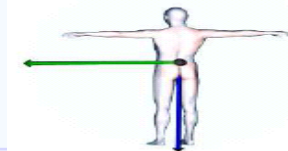
laboratory
Gerstner

al University

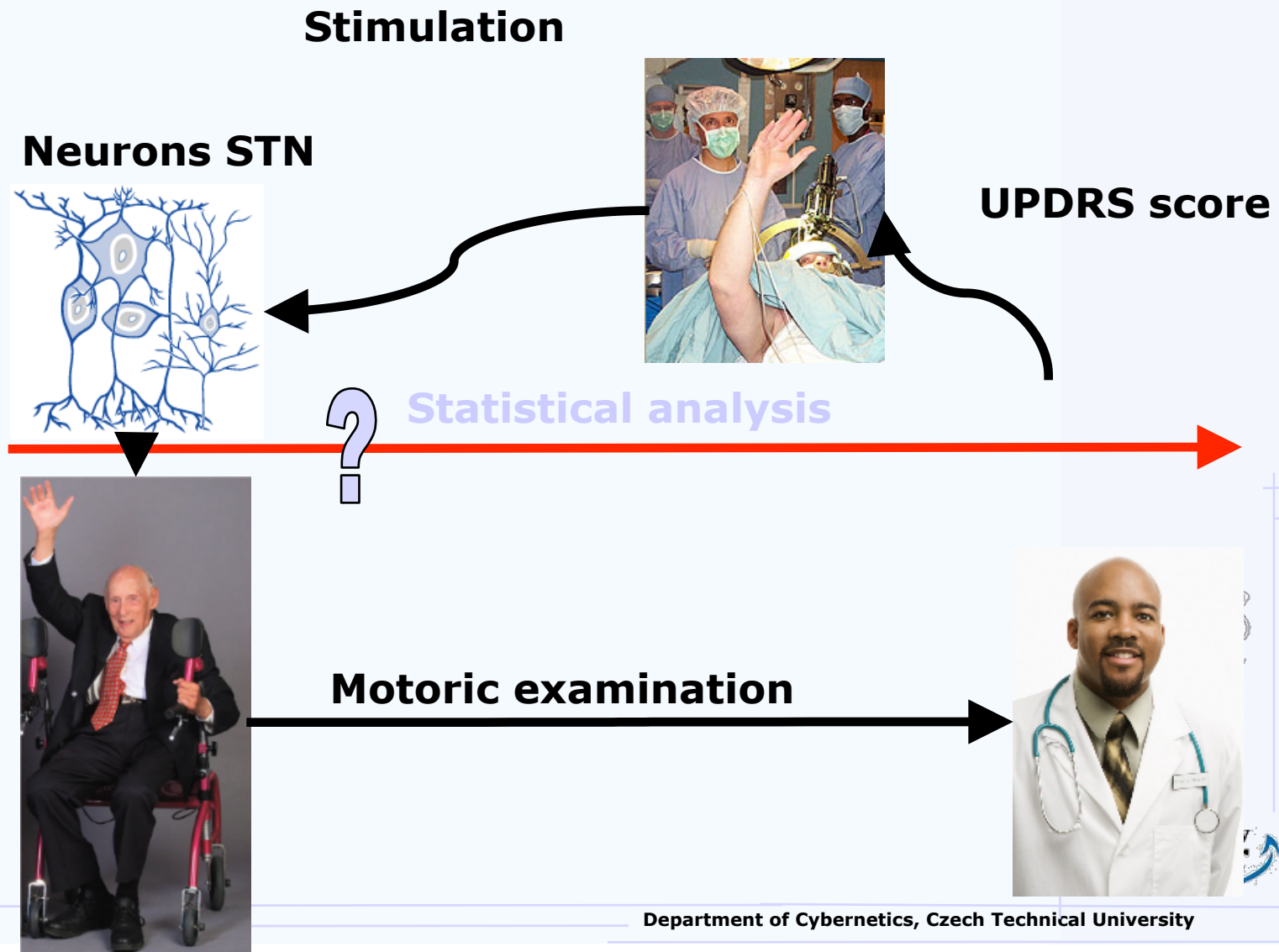
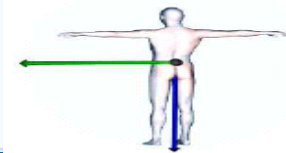
Spike Detection



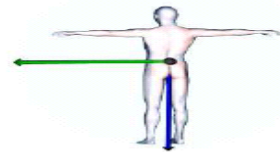
Spike Sorting: one channel, 3 cluster, PCA projection



Dependence UPDRS or depression?



IAPS experiment



- affective visual stimulation
- a series of 24 IAPS pictures

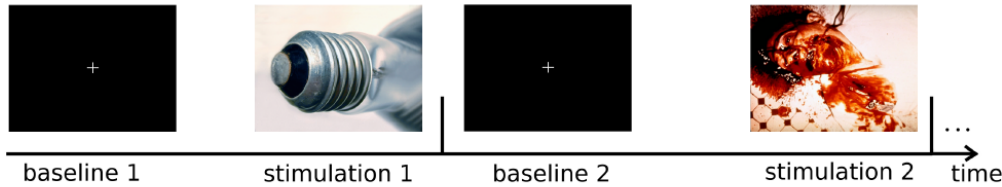


MicroEEG Data Recording

- peroperative STN exploration
 - integral part of DBS implantation
- 5 parallel microelectrodes
- sampling at 24kHz

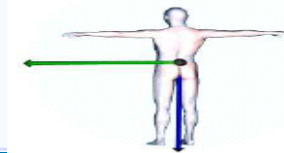


- 10 patients
- 43 recording positions
- 141 recordings (74 from STN)
- 173 minutes (89 from STN)
- 176 neurons (101 in STN)



- presentation for 2s + 2s
- recording during presentation
- pseudorandom ISIs
- pseudorandom picture emotional content
- uniqueness





Bipolar & Schizophrenia Analysis

People:

Daniel Novak, Ing. Jan Hrdlicka (PhD), Katerina Sedlackova (DP) , Jan Poupe (DP), Radek Jedlicka (BP), **PPC:** MUDr. Filip Spanel PhD, **EPSA:** (Dr. David Cuesta Frau)

Area: Biological Signal Processing, Temporal Pattern Recognition, Multivariate Time Series Classification

Goal: Schizophrenia Relapse Prediction, Prediction of Mania and Depressive states



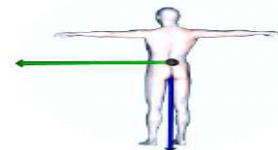
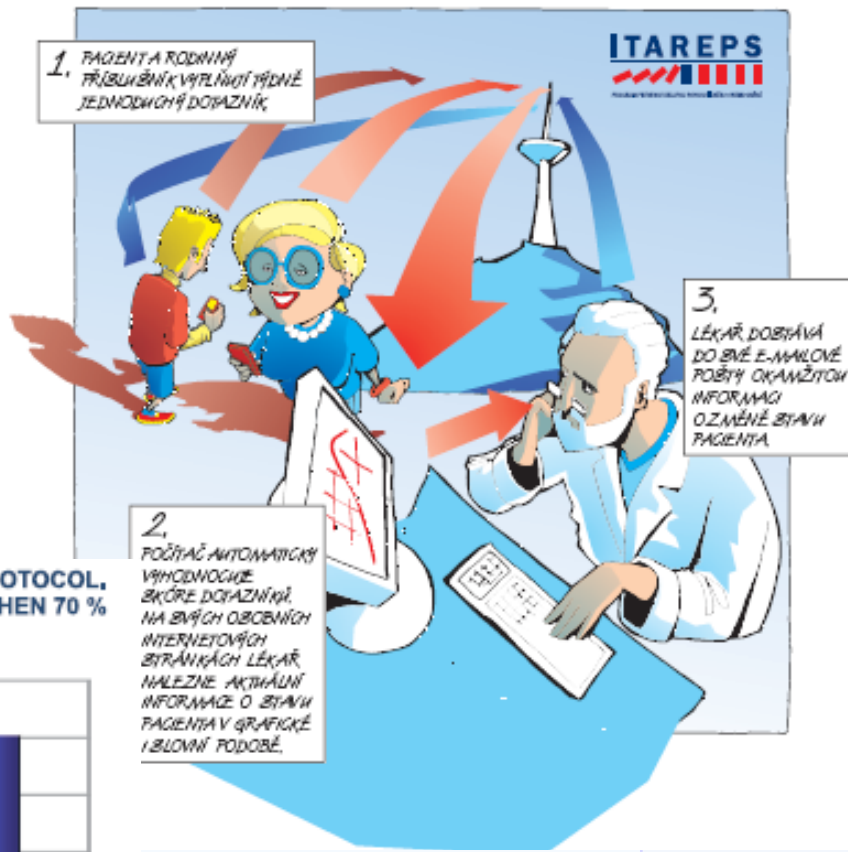
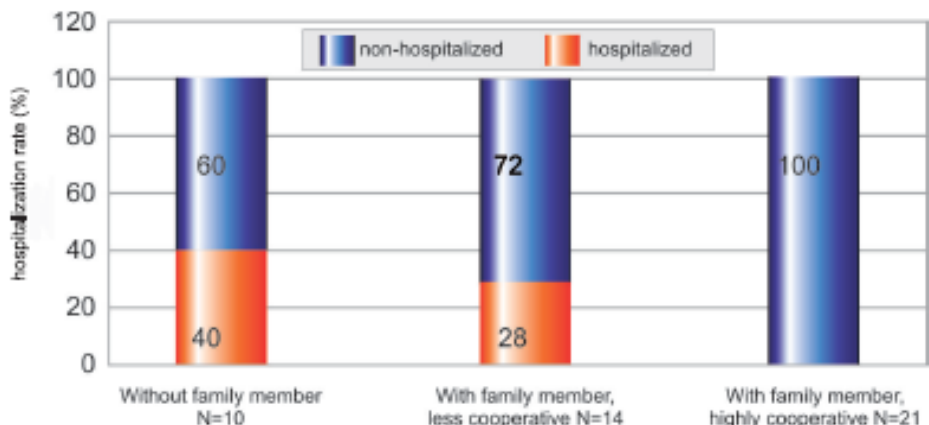
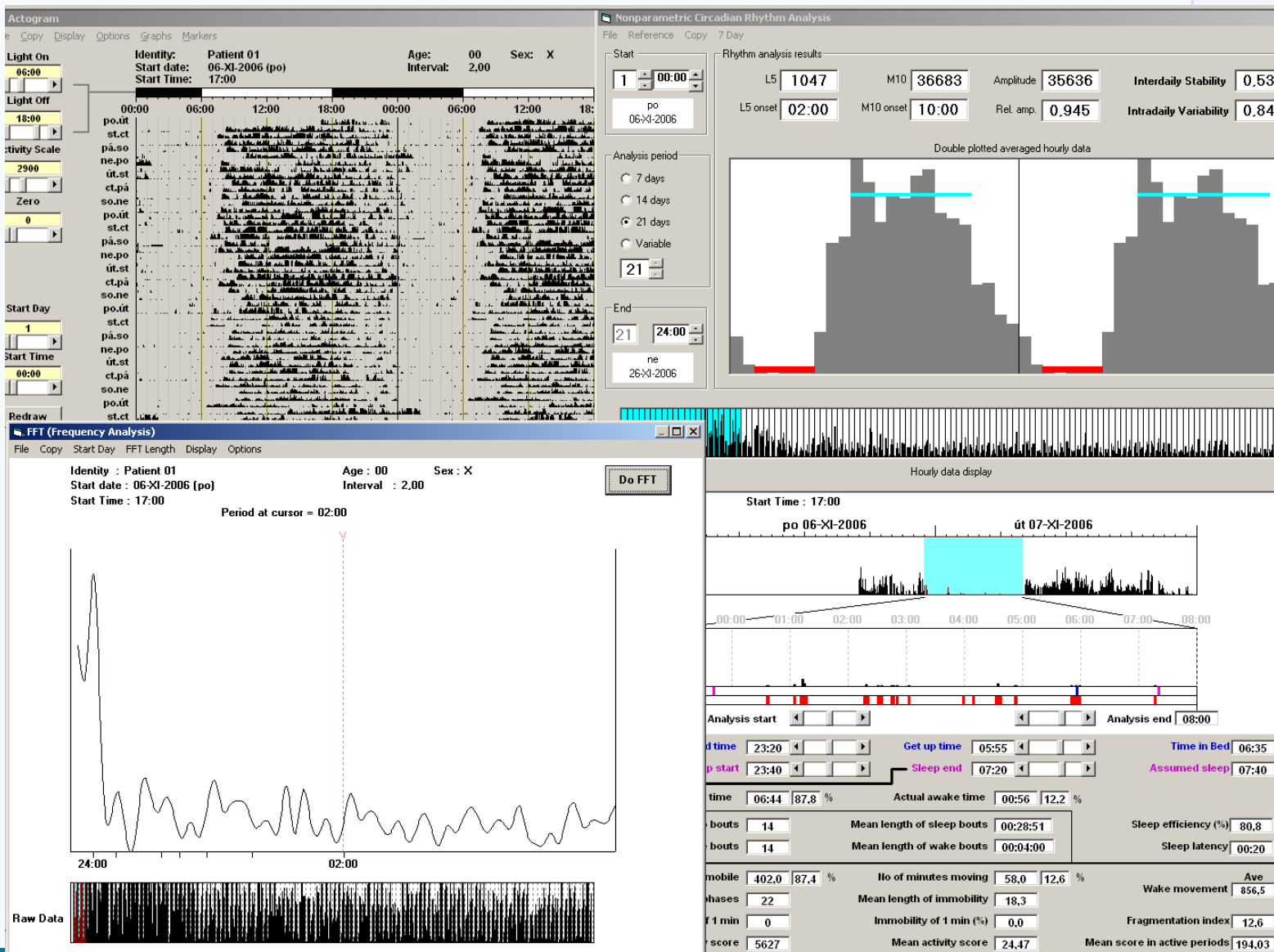
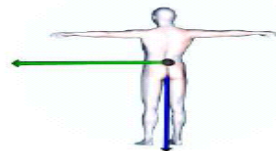


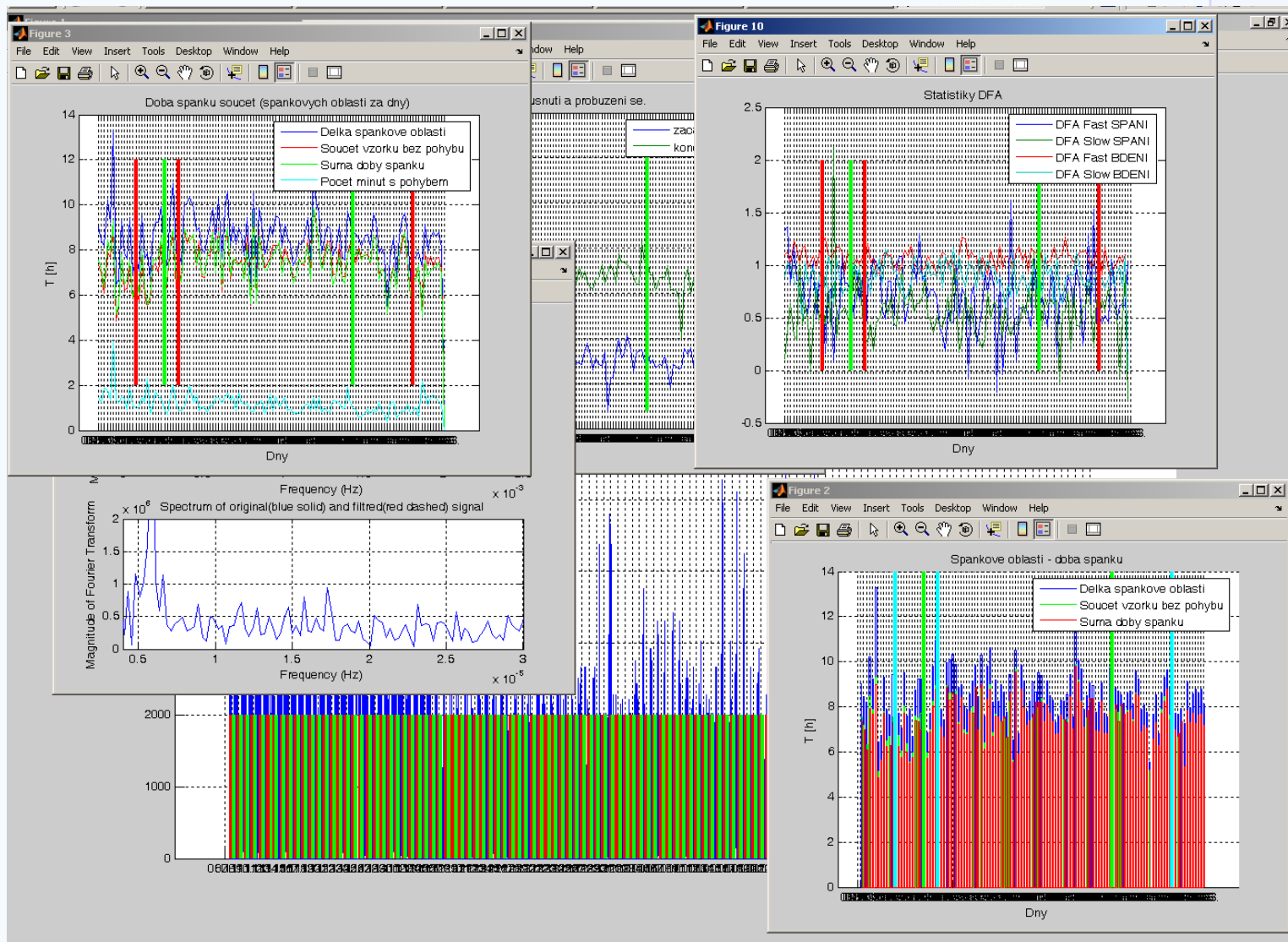
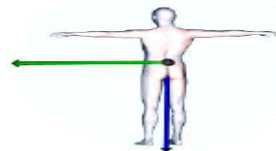
Fig. 1: HOSPITALIZATION RATE AND ADHERENCE TO THE ITAREPS PROTOCOL,
CUT OFF POINT OF COOPERATIVENESS DEFINED AS MORE OR LESS THEN 70 %
OF REQUIRED EWSQ QUESTIONNAIRES RETURNED



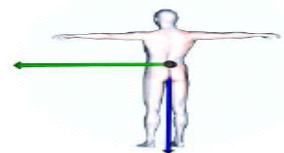
Sleep Analysis by Cambridge Neurotechnologies



Sleep analysis



Questionnaires



Microsoft Excel - Pac1.xls

File Edit View Insert Format Tools Data Window Help Adobe PDF

Reply with Changes... End Review... Type a question for help

Q22

	F	G	H	I	J	K	L	M	N	O	P	Q	R	S	T	U	V
1	25.1.07	1.2.07	8.2.07	15.2.07	22.2.07	24.2.07	26.2.07	28.2.07		1.3.07	2.3.07	3.3.07	4.3.07	5.3.07	6.3.07	středa	čtvrtek
2	15. týden	16. týden	17. týden	18. týden	19. týden				20. týden							7.3.07	8.3.07
3	4	6	7	4	2	2	2	4	6	6	6	6	5	4	5	3	
4	4	5	5	3	1	1	2	4	6	6	6	6	5	4	5	3	
5	4	3	2	4	6	7	7	5	3	3	3	3	4	4	4	5	
6	5	4	3	6	9	9	8	6	1	1	0	0	1	2	2	4	
7	3	4	5	3	0	0	0	0	6	6	6	5	4	4	5	4	
8	0	0	0	0	0	0	0	0	5	5	5	5	4	3	4	6	
9	0	0	0	0	0	0	0	0	6	5	4	3	2	2	2	2	
10	0	0	0	0	0	0	0	0	4	4	4	3	2	2	2	2	
11	0	0	0	0	0	0	0	0	5	5	5	4	3	3	3	2	
12	0	0	0	0	0	0	0	0	4	4	4	3	2	2	2	2	
13	1	0	2	2	0	0	0	0									
14	0	0	0	0	0	0	0	0									
15	4	5	3	6	8	8	8	5									
16	3	1	1	2	5	4	5	2									
17	0	0	0	0	0	0	0	0									
18	5	4	4	6	7	8	8	7									
19	6	4	4	6	7	8	8	6									
20	2	4	5	2	1	0	1	4									
21																	
22																	
23	2	3	4	5	6	7	8	9									
24																	
25	mlasim								naprosto souhlasim								
26																	
27																	
28																	

19.10. 26.10. 02.11. 09.11. 16.11. 23.11. 30.11. 07.12. 14.12. 21.12.

Microsoft Excel - Figure 3.xls

File Edit View Insert Tools Desktop Window Help

Figure 3

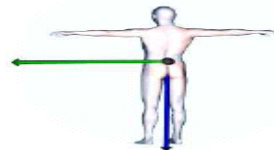
Srazený diagram s dobovou řadou

Připadá mi, že se mi nikdy nic nepovede: deprese

Stavět 0 nesouhlasím, 9 souhlasím

Datum

19.126.102.109.116.123.130.137.124.121.128.104.011.018.035.001.023.025.022.021.024.027.033



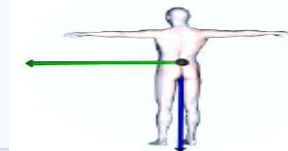
Expertní systémy

„E.s. – počítačové programy, simulující rozhodovací činnost experta při řešení složitých úloh a využívající vhodně zakódovaných, **explicitně** vyjádřených speciálních znalostí, převzatých od experta, s cílem dosáhnout ve zvolené oblasti **kvality rozhodování na úrovni experta.**“
(E. Feigenbaum, 1988)

- Expertní systém (ES) je program, který simuluje rozhodovací činnost experta
- Prázdný ES je systém bez problémově závislých částí
- <http://krizik.felk.cvut.cz/felex/>
- <http://krizik.felk.cvut.cz/felex/uman/uman.pdf>

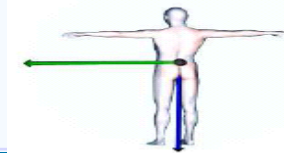


Diagnostika závratí pomocí ES



- PETR HAROM, DP, 2003
- obtížnost stanovení diagnózy
 - široké spektrum příčin závratí
 - neurčitý popis potíží
- potřeba včasné a správné diagnostiky
 - riziko úrazů
 - nebezpečí rozvoje závažných symptomů



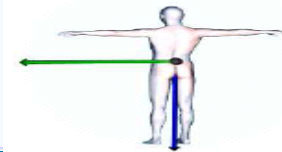


Použité diagnózy

- Ménierova choroba
- BPV
- Neuritis vestibularis
- Traumata
- Tumory
- Toxicke poškození
- Vertebrobazilární nedostatečnost
- Roztr. skleróza
- Fistula labyrintu
- Labyrinthitida
- Cervikální závrat'
- Konverzní poruchy
- Migréna



Znaky ES



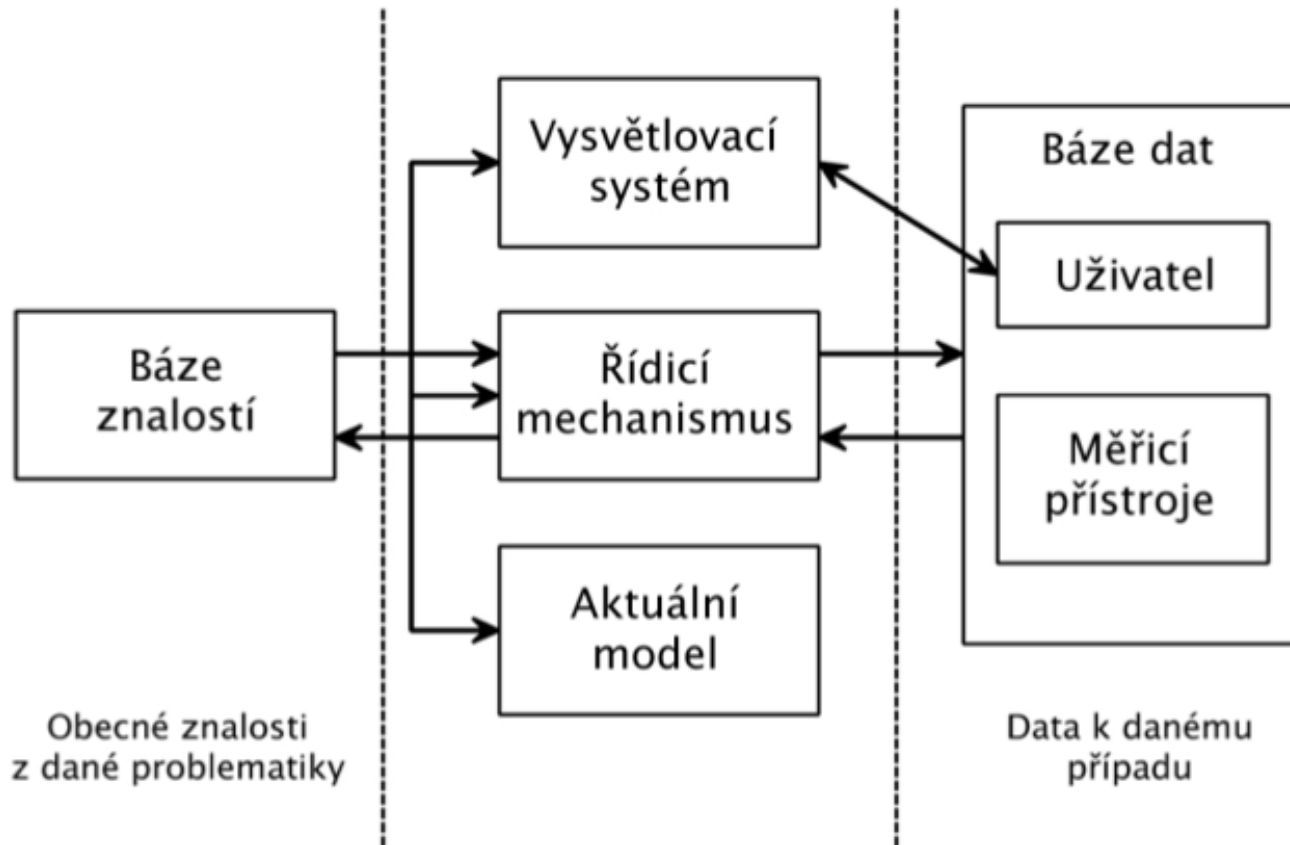
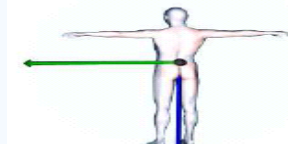
1. Znalosti experta vyjádřeny explicitně ⇒ **BÁZE ZNALOSTÍ**
2. Široké spektrum znalostí (včetně znalostí „soukromých“), **heuristik** a metaznalostí
3. Konkrétní data k řešenému případu – dodávána sekvenčně ve formě **dialogu**.
Data tvoří tzv. databázi.
Aktuální model je upřesňován krok po kroku.
4. Zpracování neurčitosti.

Neurčitost může být

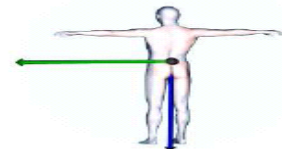
- ve znalostech
- v datech
- kombinována

Jak reprezentovat a kombinovat neurčitost??

Struktura ES



Diagnostický ES



90% systémů

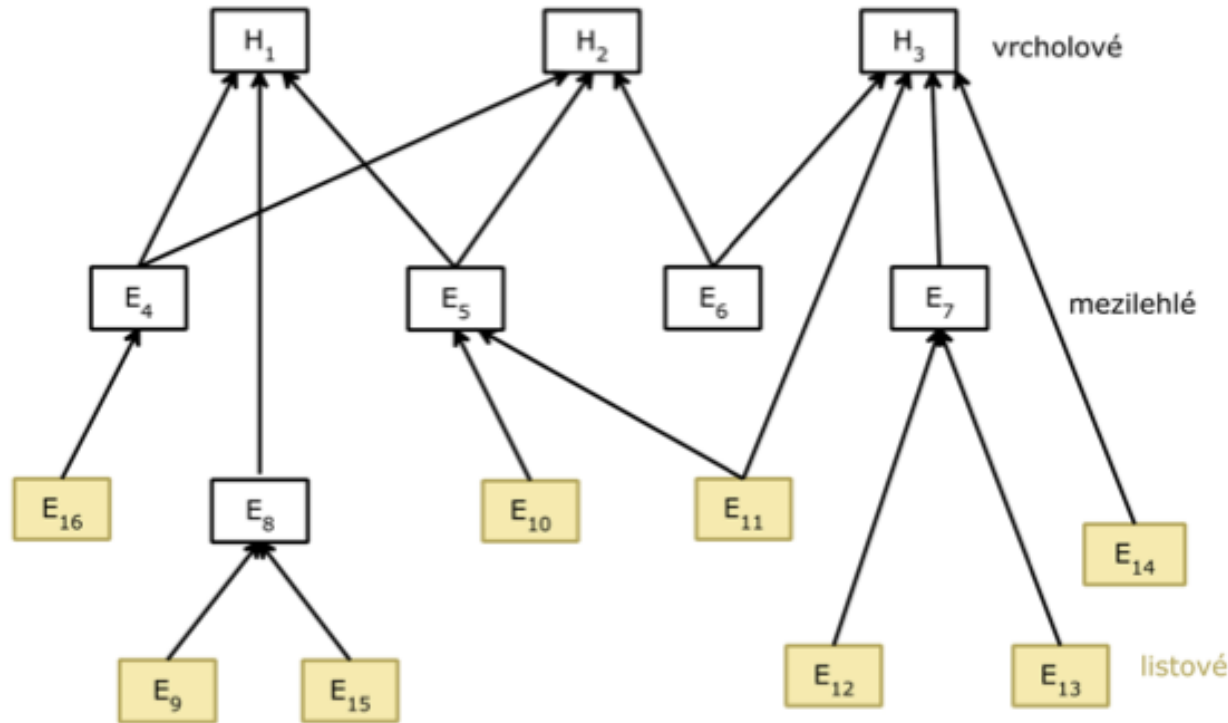
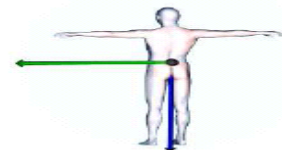
IF ⟨ předpoklad E ⟩ THEN ⟨ závěr H ⟩
WITH ⟨ váha W ⟩

E, H tvrzení

W expertova subjektivní míra

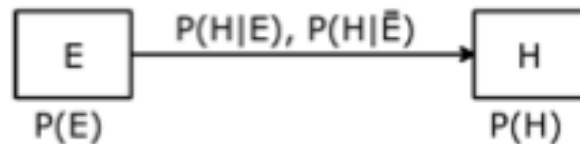


Interferenční síť



Dotazovatelné × nedotazovatelné

Prospector



IF E THEN H WITH $P(H|E)$
ELSE H WITH $P(H|\bar{E})$

Základní vzorce

$$P(H|E) = \frac{P(E|H)P(H)}{P(E)}$$

$$O(H) = \frac{P(H)}{P(\bar{H})} = \frac{P(H)}{1 - P(H)}$$

naděje (odds)

$$O(H|E) = \frac{P(H|E)}{1 - P(H|E)}$$

vazba mezi O a P : $O = \frac{P}{1 - P}$

$$\frac{P(H|E)}{P(\text{not } H|E)} = \frac{P(E|H)}{P(E|\text{not } H)} \frac{P(H)}{P(\text{not } H)}$$

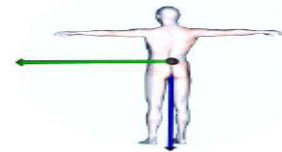
$$O(H) = \frac{P(H)}{P(\text{not } H)} = \frac{P(H)}{1 - P(H)} ,$$

$$O(H|E) = \frac{P(H|E)}{P(\text{not } H|E)} = \frac{P(H|E)}{1 - P(H|E)} ,$$

$$L = \frac{P(E|H)}{P(E|\text{not } H)} ,$$

$$O(H|E) = L \cdot O(H) \quad O(H|\text{not } E) = \hat{L} \cdot O(H)$$

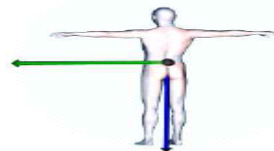
Příklad báze znalostí



```
nodes // definice uzlů {  
je_benzin // jméno uzlu {  
'v nadrzi je benzin'  
// komentář, použito pro kladení otázek - nepovinné  
(bayesian, // bayesovský uzel  
0.5) // apriorní pravděpodobnost retriever  
( wincf )  
// získání dat od wincf (zdroj windows, certainty factor)  
/* pokud se neuvede retriever, považuje se uzel za  
nedotazovatelný */ }  
auto_ok {  
(bayesian, 0.6, goal) // goal = cílová hypotéza  
}  
}
```

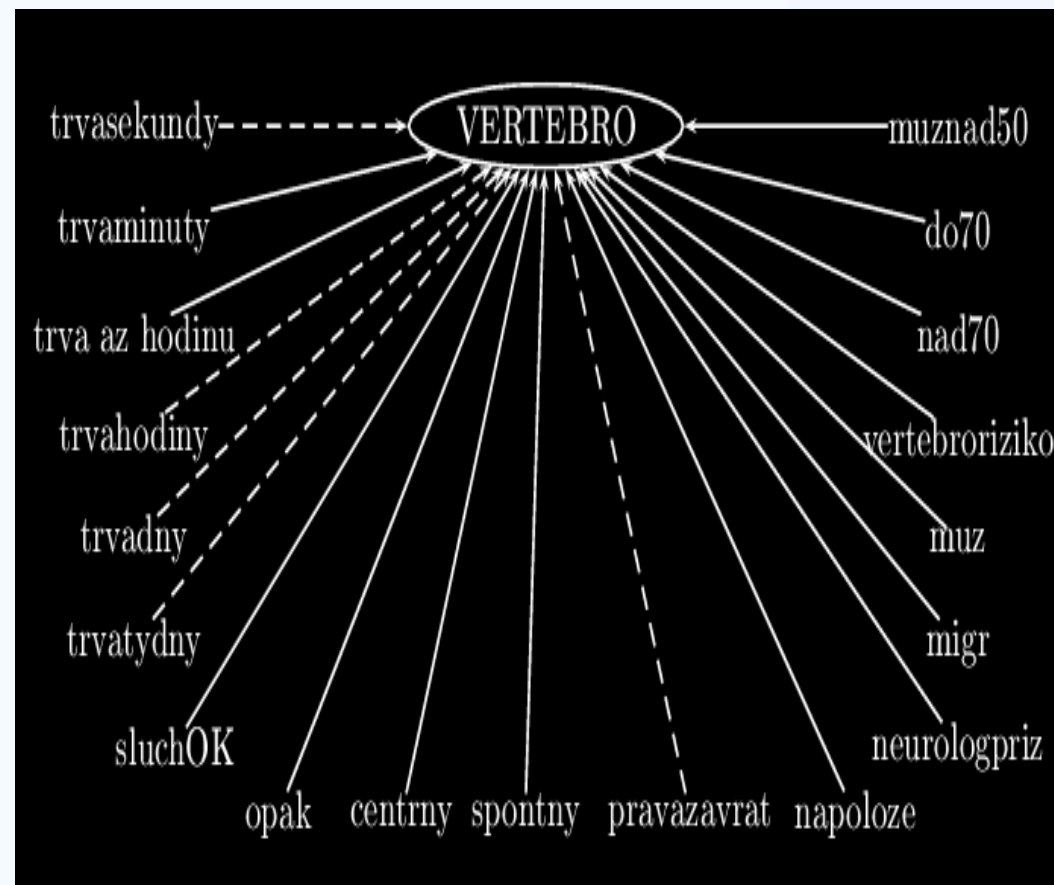
```
rules // pravidla {  
{ je_benzin, auto_ok, 0.6, 0.1 } // pravidla a jejich váhy  
// tj. auto_ok platí s pravděpodobností 0.6, když je benzín  
// a platí s pravděpodobností 0.1, když není benzín { predpoklad1,  
logicky_uzel } // pravidlo k logickému uzlu // ... a další  
pravidla  
}
```

IF ⟨ předpoklad E ⟩ THEN ⟨ závěr H ⟩ WITH ⟨ váha L ⟩
ELSE ⟨ závěr H ⟩ WITH ⟨ váha \hat{L} ⟩

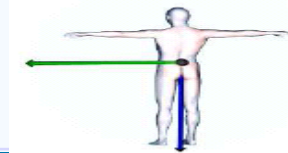


Báze znalostí

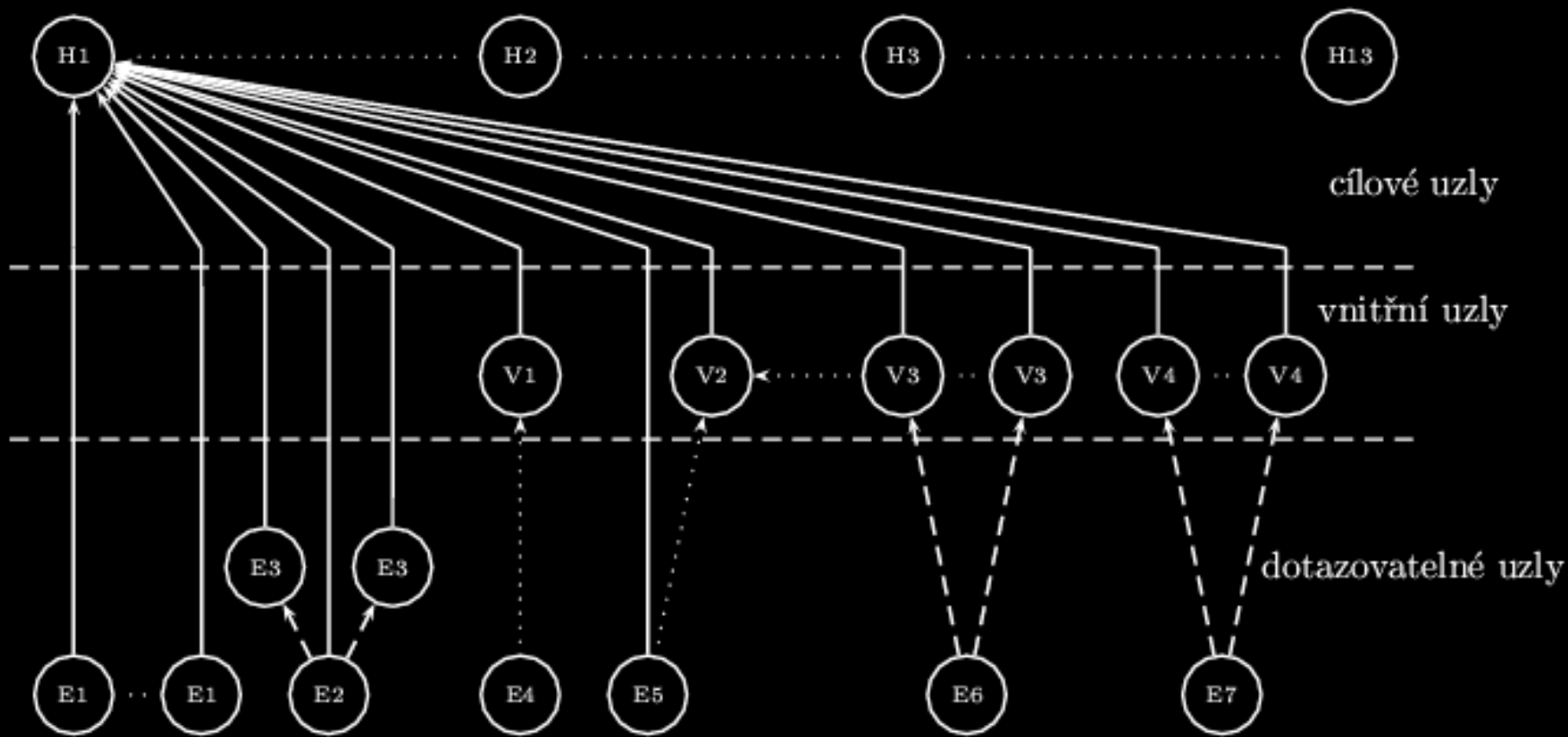
- 13 cílových hypotéz
- 36 mezilehlých uzlů
- přes 140 pravidel
- 15 vazeb



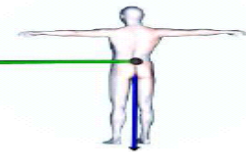
•Pravidla uzlu **VERTEBRO**



Struktura báze znalostí

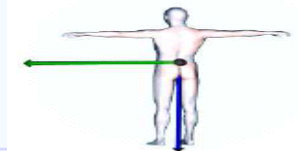


Dosažené výsledky, závěr



- Úspěšnost 81,5 % při testování typických případů
- Úspěšnost 69 % při testování netypických případů
- Práce ověřila vhodnost nasazení expertního systému pro danou problematiku
- Práce podnítila opravení chyb a vylepšení vlastností systému FEL-Expert
- Pro nasazení do praxe se očekává použití dvojnásobného množství uzlů



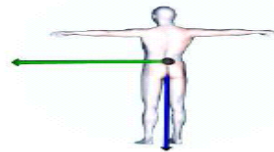


Robotická chirurgie

Poděkování
Petr Smetana
Katedra kybernetiky
ČVUT FEL

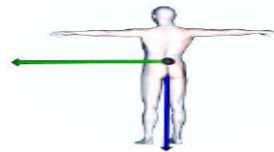


Motivace k používání robotů



- ulehčení a zkvalitnění práce chirurga
- robot nepotřebuje odpočinek, neunaví se
- netrpí třesem rukou
- jemnější a přesnější pohyby
- menší zátěž pro pacienta nejen po fyzické, ale i psychické stránce
- V konečném důsledku je operace provedená za pomoci robota finančně výhodnější: pacient je kratší dobu hospitalizován, rychleji se může vrátit do aktivního života, menší potřeba následné medikamentózní léčby

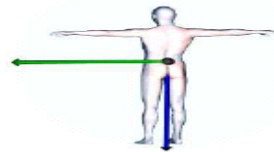




Roboti chirurgičtí

- Robot je „prodloužením“ chirurgových rukou v těle pacienta
- Typické použití je pro laparoskopické operace (jde o tzv. minimálně invazivní chirurgii) – malými otvory se ramena robota zavedou do těla pacienta (dutiny břišní). Tu je třeba vyplnit plynem, aby se vytvořil prostor pro manipulaci s rameny. Chirurg je přítomen u operační konzole robota a ramena řídí pohybem speciálních joysticků. Pohled do dutiny mu zprostředkovává kamera s 3D zobrazením.
- Výhodou takovýchto robotických operací je šetrnější provedení operace, rychlejší zotavení pacienta (menší potřeba nemocničního personálu), menší jizvy, kratší pobyt v nemocnici, nižší riziko infekce, není potřeba krevních transfuzí...

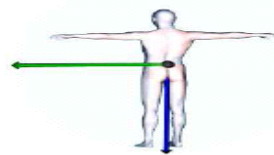




Roboti chirurgičtí

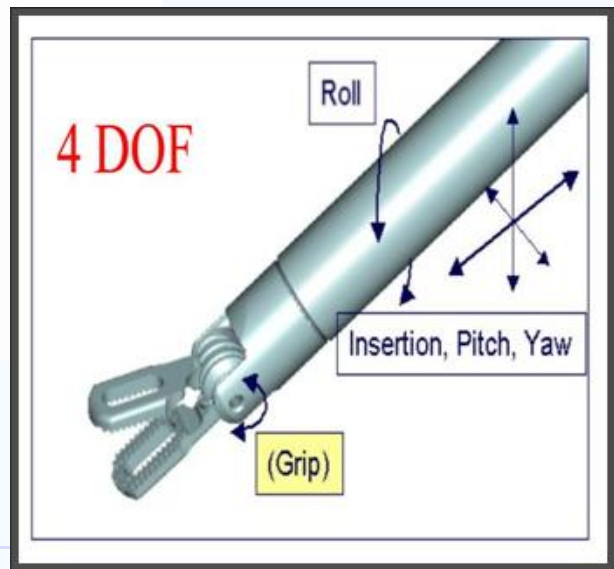
- Robot dokáže odstranit třes rukou operátéra
- Možnost nastavení převodního poměru pohybu rukou na pohyb nástrojů -> jemnější provedení operace
- 3D zobrazení operačního pole na rozdíl od klasické 2D laparoskopické kamery
- Operatér se může s operační konzolí nacházet třeba i na jiném kontinentě.
- Možnost trénovat na chirurgii na „virtuálních“ operacích
- Více lidí může sledovat operaci přímo tak, jak ji vidí operatér
- Skvělá pohyblivost nástrojů (6-7 stupňů volnosti oproti 4 při klasické laparoskopii), i větší, než pohyblivost rukou





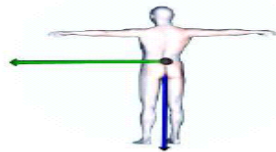
Roboti chirurgičtí

- Použití nachází v oblastech trávícího traktu, gynekologické, urologické i srdeční operace
- Nevýhodou je absence jakéhokoliv citu v nástrojích, ale chirurgové si prý rychle zvykají, a poměrně velká pořizovací cena robota a potřebných nástrojů



Roboti chirurgičtí

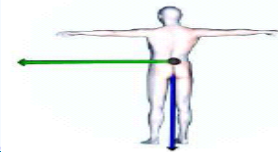
Systém daVinci 1200 od fy Intuitive Surgical



laboratory
Gerstner

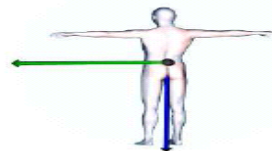
Roboti chirurgičtí

Systém daVinci 1200 od fy Intuitive Surgical



- Sada vyměnitelných nástrojů (s omezeným počtem použití kvůli zaručení požadovaných parametrů, cena jednoho nástroje je asi 110 000 Kč, počet použití kolem 15 v závislosti na typu nástroje)
- Velká škála nástrojů



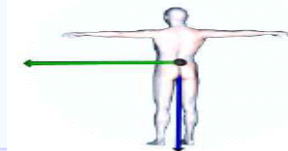


Roboti chirurgičtí

Systém daVinci 1200 od fy Intuitive Surgical

- Přepínání ramen pomocí nožních pedálů
- Ochrana proti výpadkům energie
- Intuitivní obsluha
- Automatické zablokování pohybu ramen při poruše
- Schválen k mnoha operacím na rozdíl od robota ZEUS
- Výměna vadných částí v rámci jejich životnosti zdarma
- Budoucnost:
 - Chirurg bude mít zpětnou vazbu o síle, jakou působí prostřednictvím nástrojů na tkáň
 - Napojení na expertní systém a možnost konzultace zákroku přímo při operaci, navigace, ...





MRI - Spectroscopy Data Analysis

People:

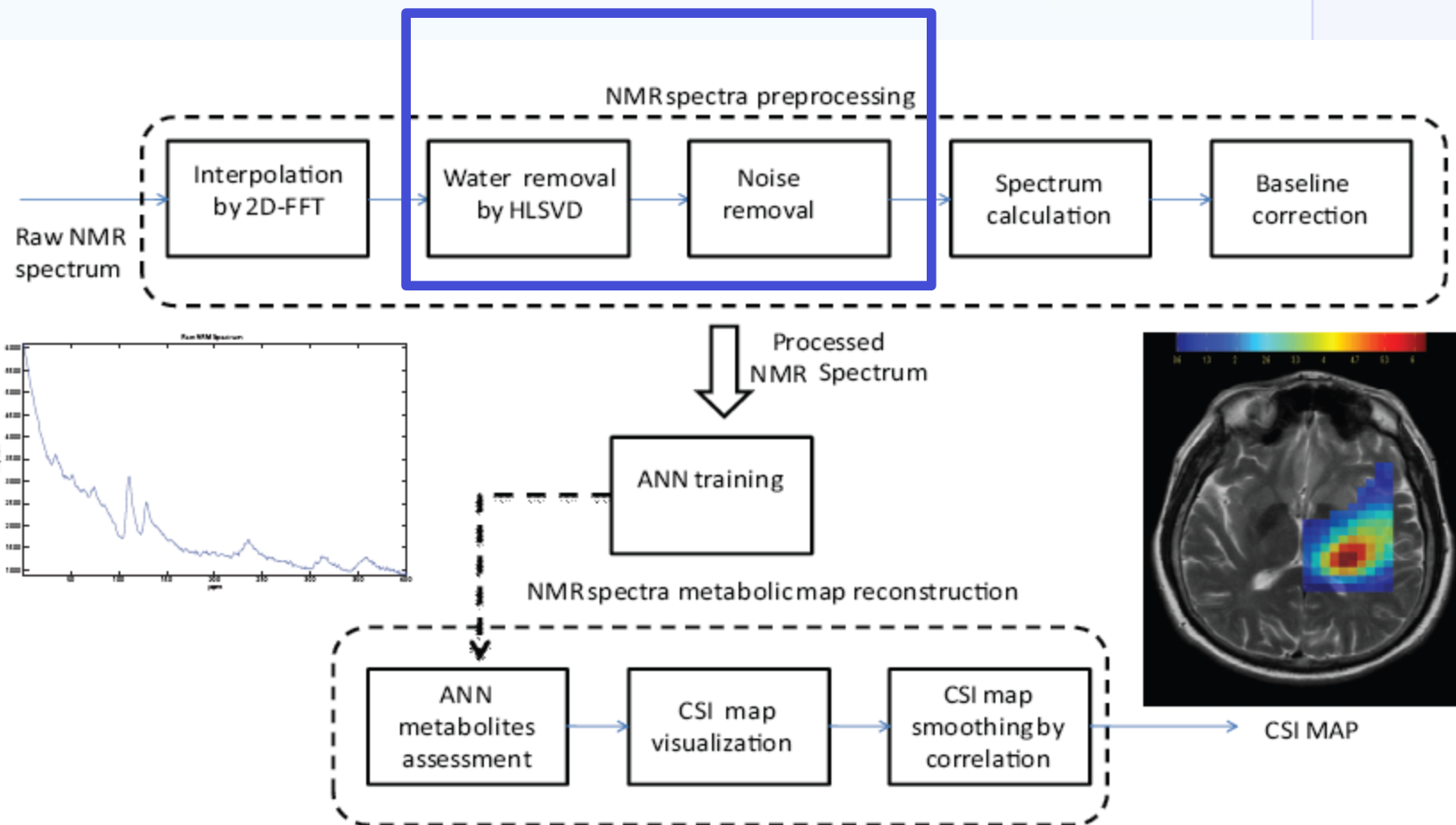
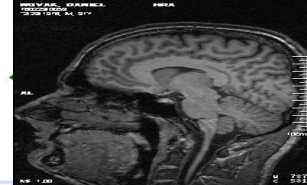
Daniel Novak, Erik Saudek (DP), IKEM: Ing. Milan Hájek, DrSc

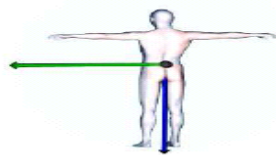
**Area: Biological Signal Processing,
Image Processing, Spectroscopy Analysis**

Goal: Concentration Assessment from NMR spectra



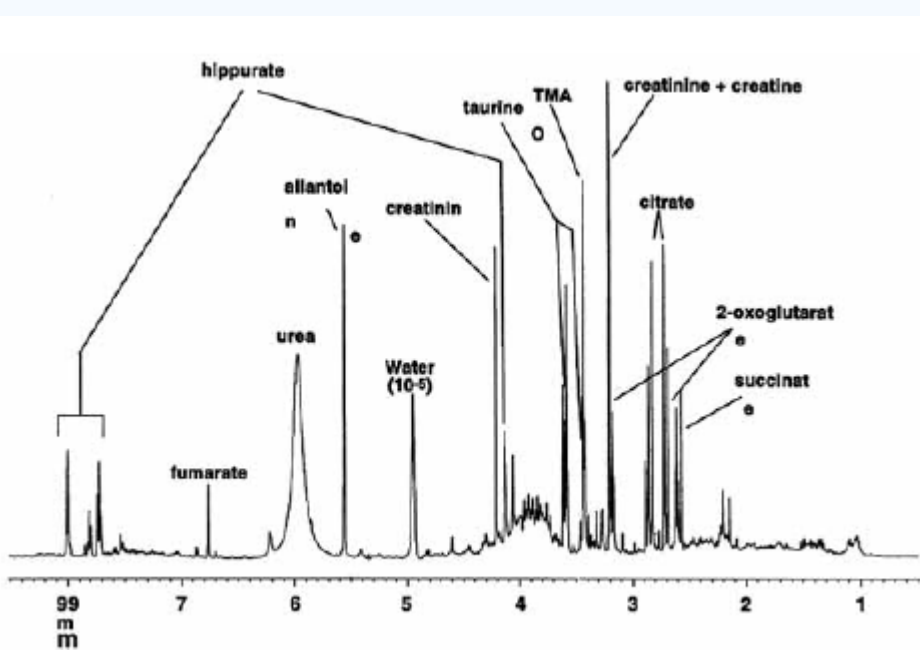
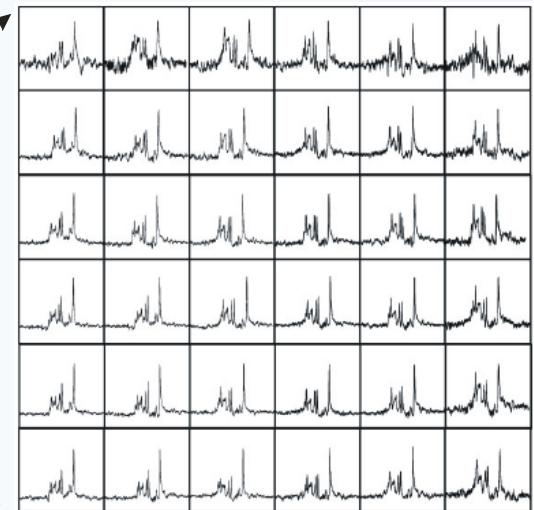
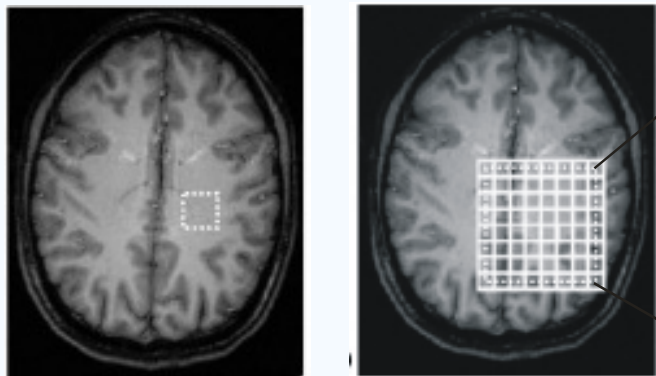
Method





FID measurement

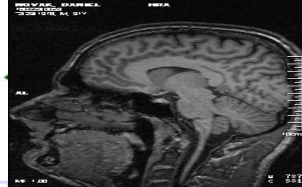
Multi-voxel spectroscopy
Single-voxel spectroscopy(SVS)



metabolite concentration



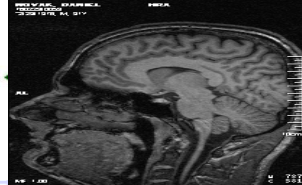
ANN for spectrum metabolite estimation



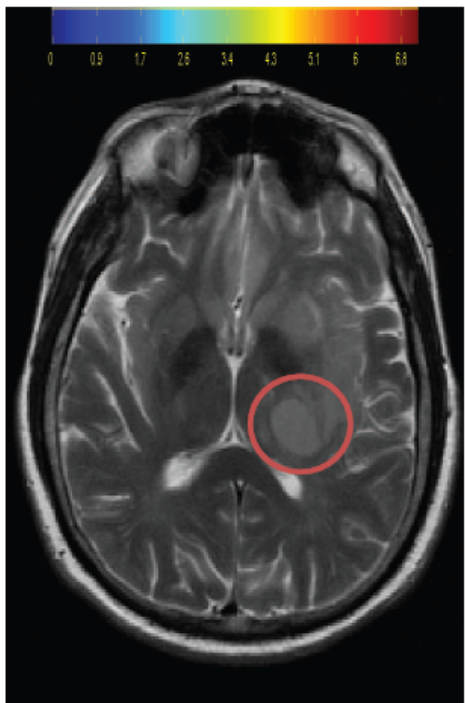
- 3 x three layers network 800-100-1
- Input: absolute spectrum (800 points)
- Output: concentration of NAA,Cr, resp. Cho according to LCM
- # hidden neurons: 100
- Data: CSI (over 2000 spectrums) 9 volunteers a 2 patients
- Optimization using Scaled Conjugate Gradient BP
- SSE criteria (0.5)
- Results depended very much on training set
- Spectrum selection (**700**) using correlation coefficient -> gold standard



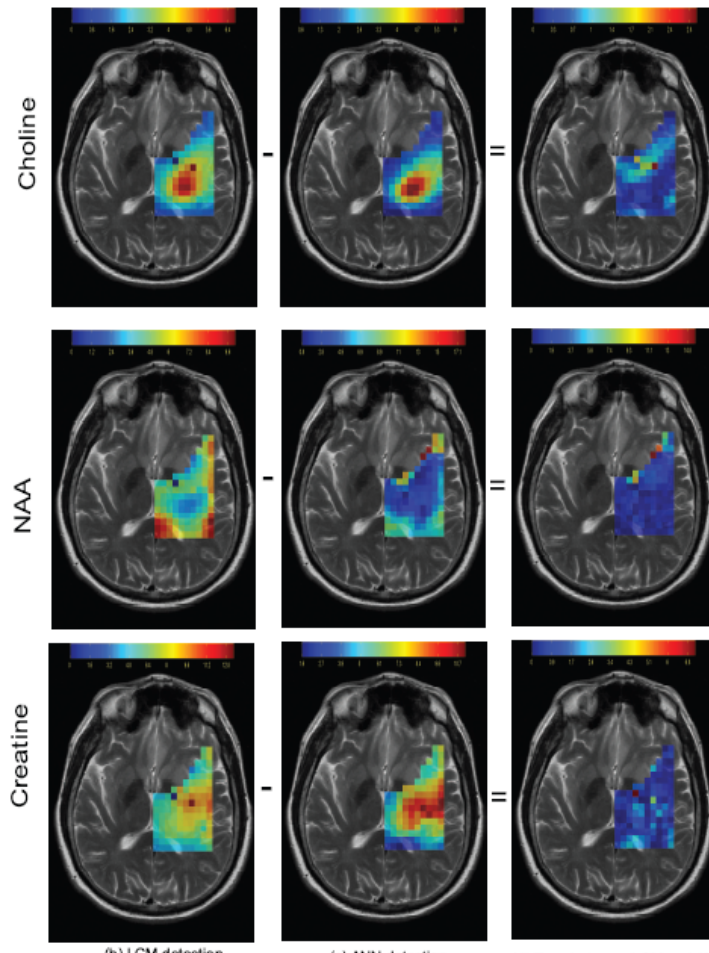
Brain tumor

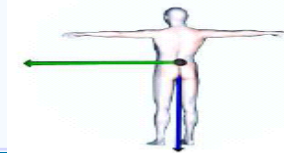


- Creatine metabolic process
 - Choline healthy neurons
 - NAA membrane decay
- **progressive**



(a) Suspicious brain tumour





Eye Movement Analysis Slow Phase Velocity

People:

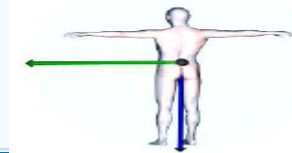
Daneil Novak, Bc. Stefan Holiga (DP), Ing. Martin Macas, Ing. Petr Posik, Pavel Kordik, **3.LF, Nemocnice Motol: Neurologie:**
MUDr. Richard Brzezny, MUDr. Martin Vyhalek, MUDr. Rudolf Cerny
CSc



Area: Biological Signal Processing

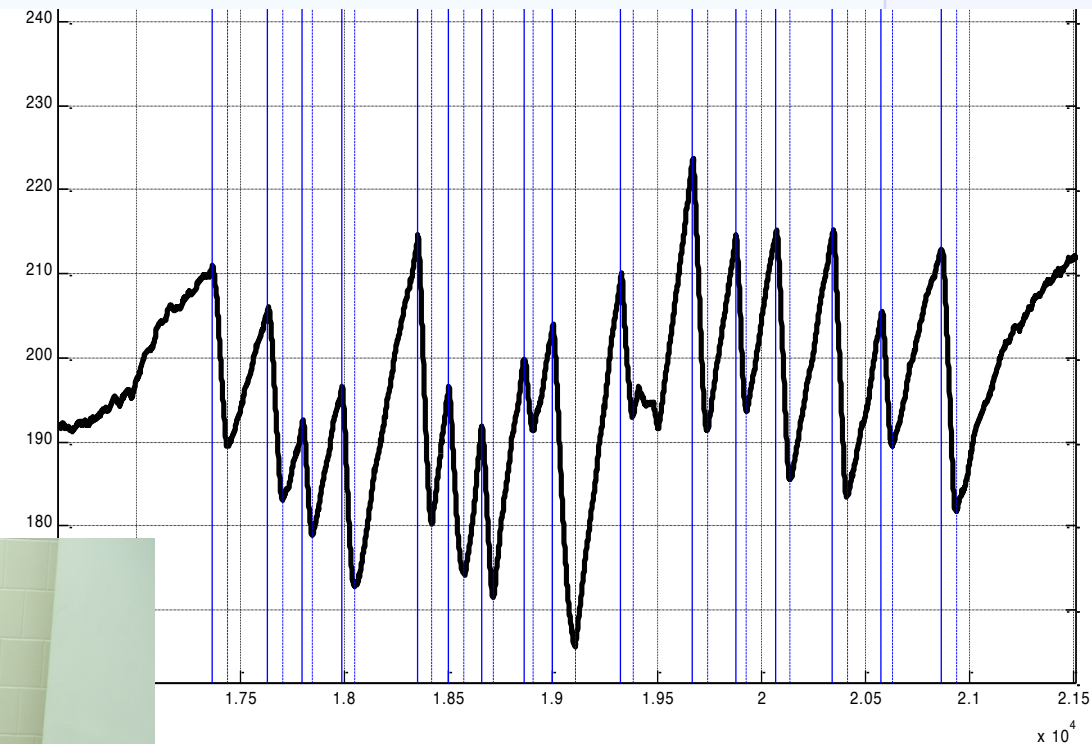
Goal: Multi-sinus SPV analysis

VOR generation by chair

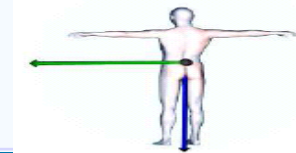


- VOG-closed or open eyes
- Slow and fast phase

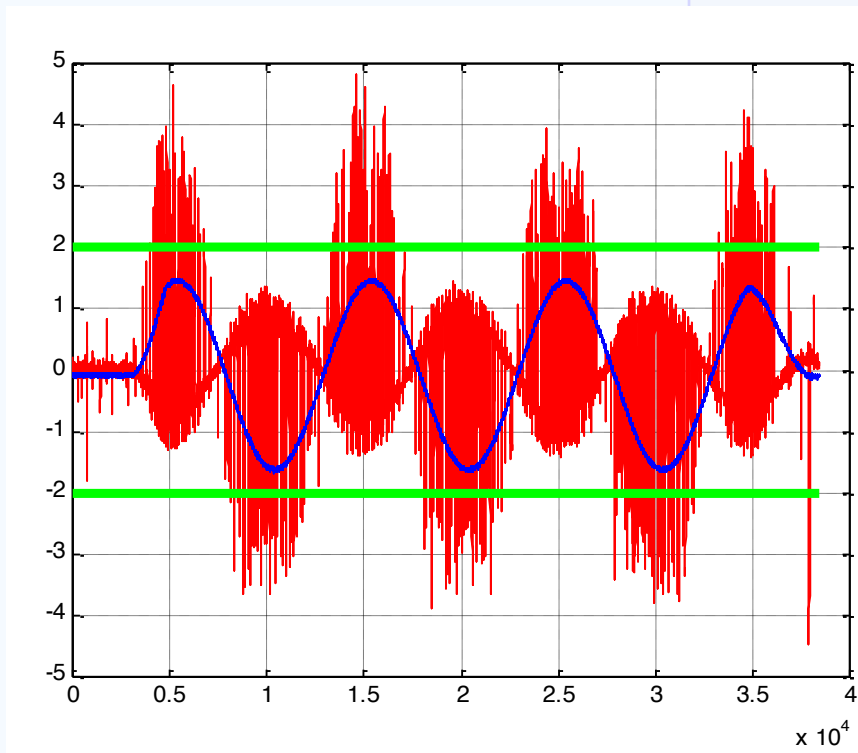
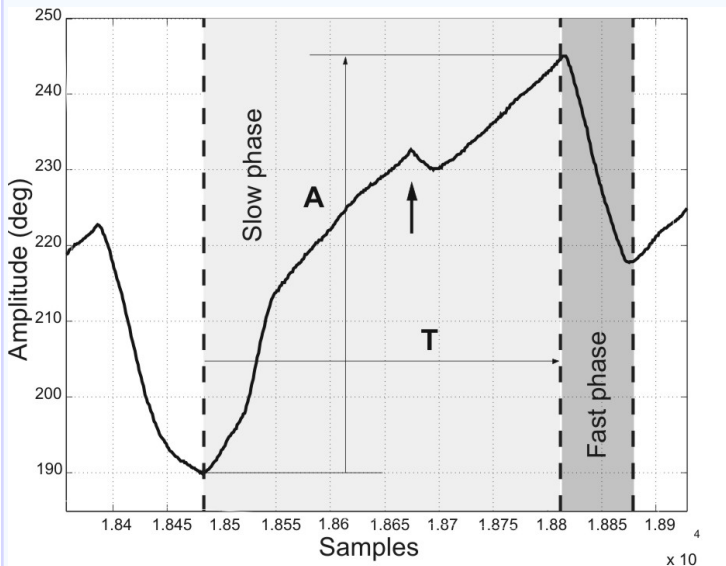
- **Slow – vestibular,** determines the system behavior
- **Fast - corrective,** reset constant, saccades



Slow Phase Definition



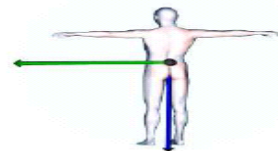
$$SPV = \frac{A}{T}$$



- Fast phase removal
- Thresholding



Results



Left or right in each sector

Statistics

Gain and phase

Manual selection

	Start [s]	End [s]	Mean SPV [deg/s]	Max SPV [deg/s]
Sector 1	6.1	15.0	-15.9	29.4
Sector 2	15.0	25.4	22.1	33.8
Sector 3	25.4	35.0	-21.1	32.1
Sector 4	35.0	45.4	21.5	34.3
Sector 5	45.4	55.0	-21.5	33.5
Sector 6	55.0	65.4	22.6	35.0
Sector 7	65.4	74.4	-19.8	33.2
Mean R-SPV	22.0	Selected area [37.8,41.6] (Rectangle box in Figure A)		
Mean L-SPV	19.5			
Mean SPV	20.6	Mean SPV	14.7	
R-L diff	2.5	Max SPV	34.3	
Gain	0.54	Phase shift		0.15